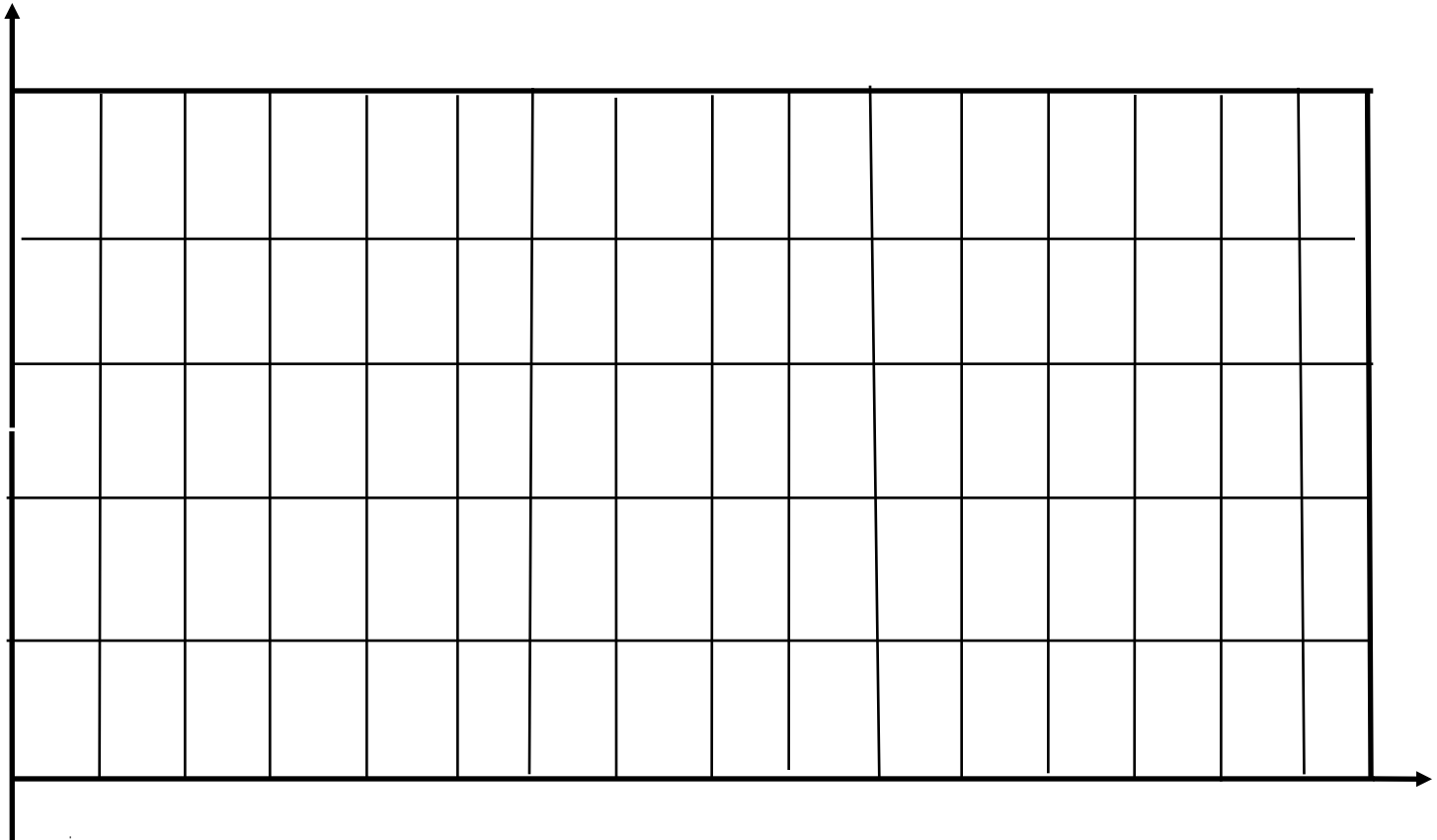
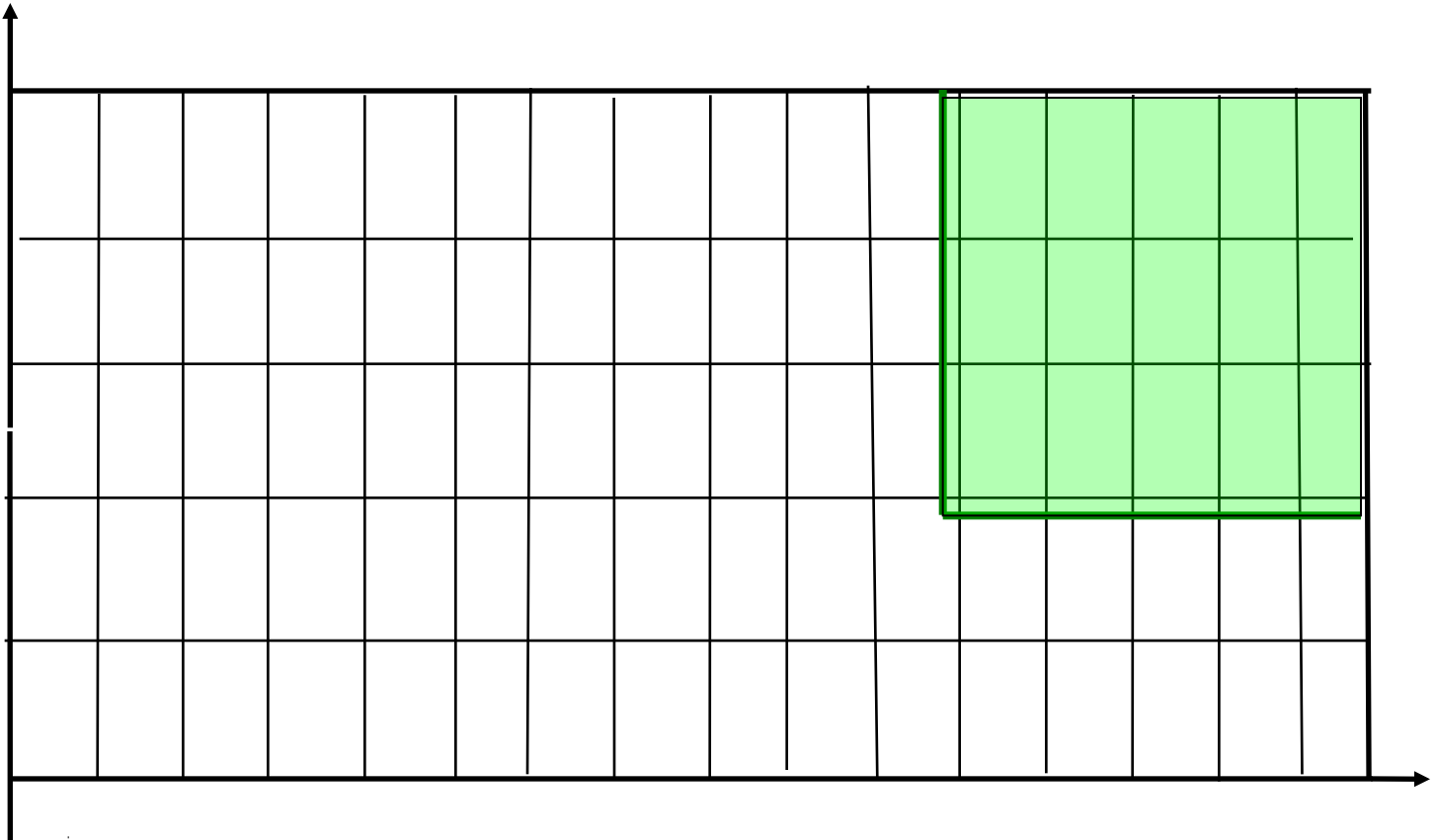
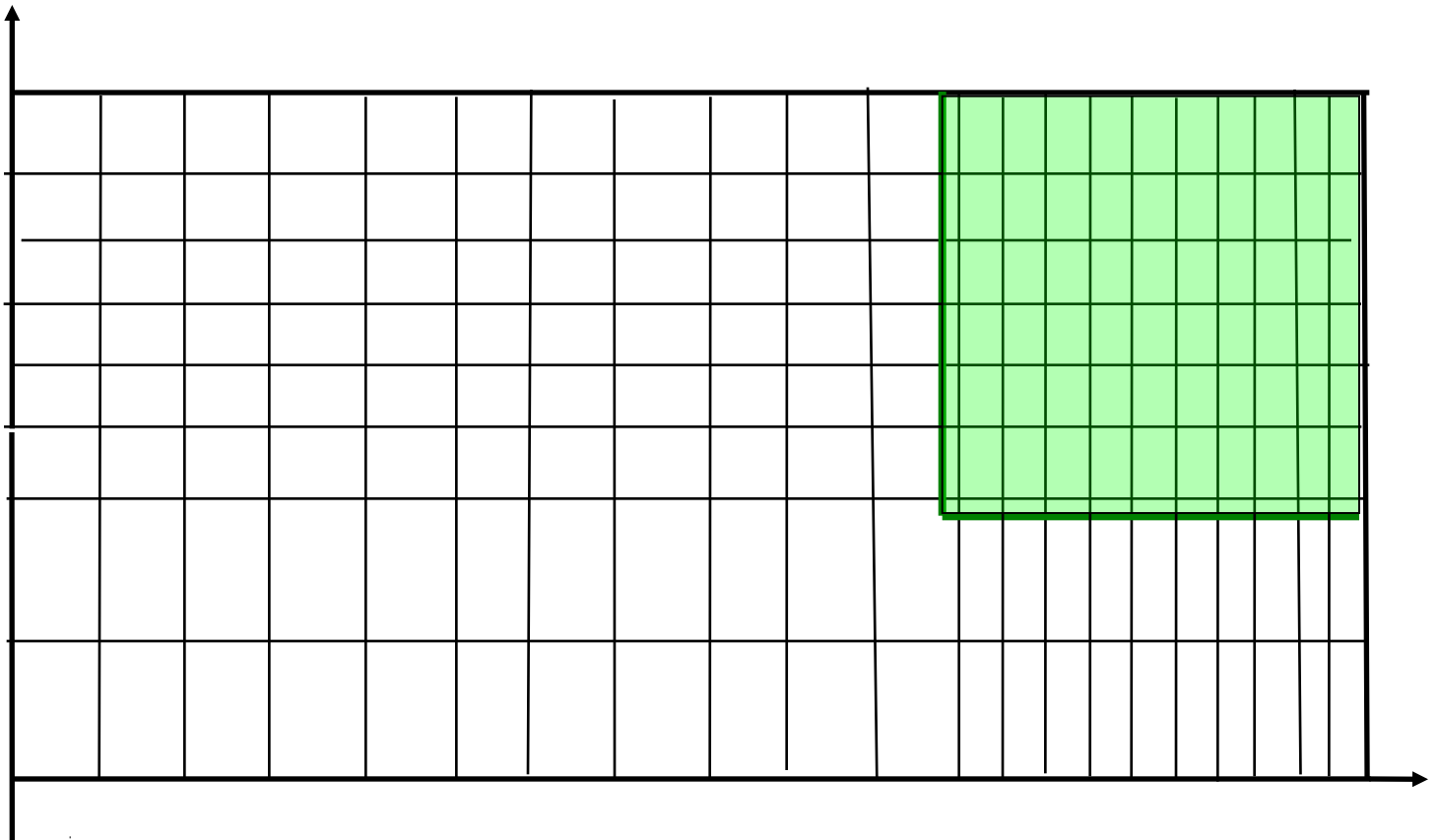


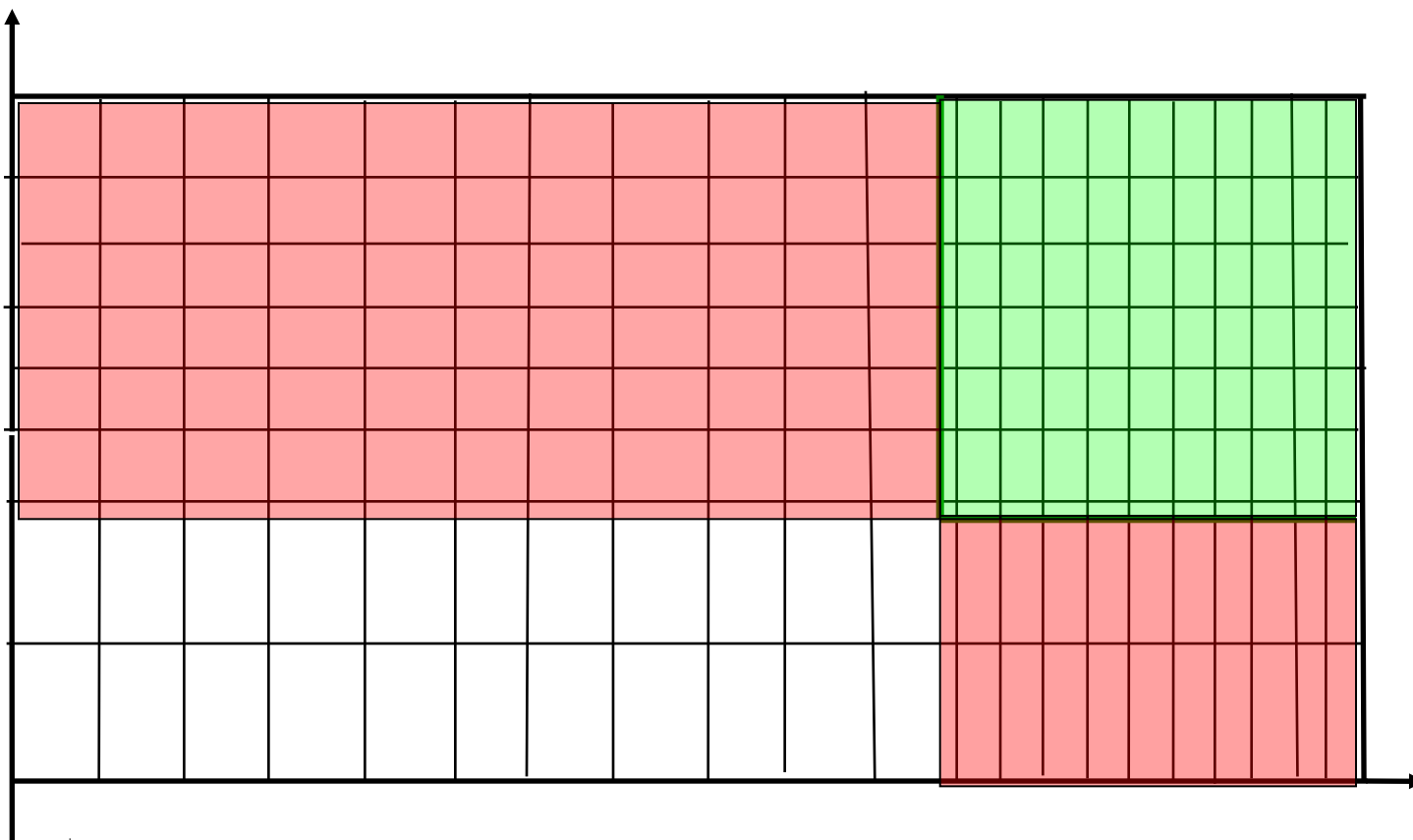
**ДИСКРЕТНЫЙ АНАЛОГ
СОПРЯЖЕННО-ОПЕРАТОРНОЙ
МОДЕЛИ ЗАДАЧИ
ТЕПЛОПРОВОДНОСТИ НА
НЕСОГЛАСОВАННЫХ СЕТКАХ**

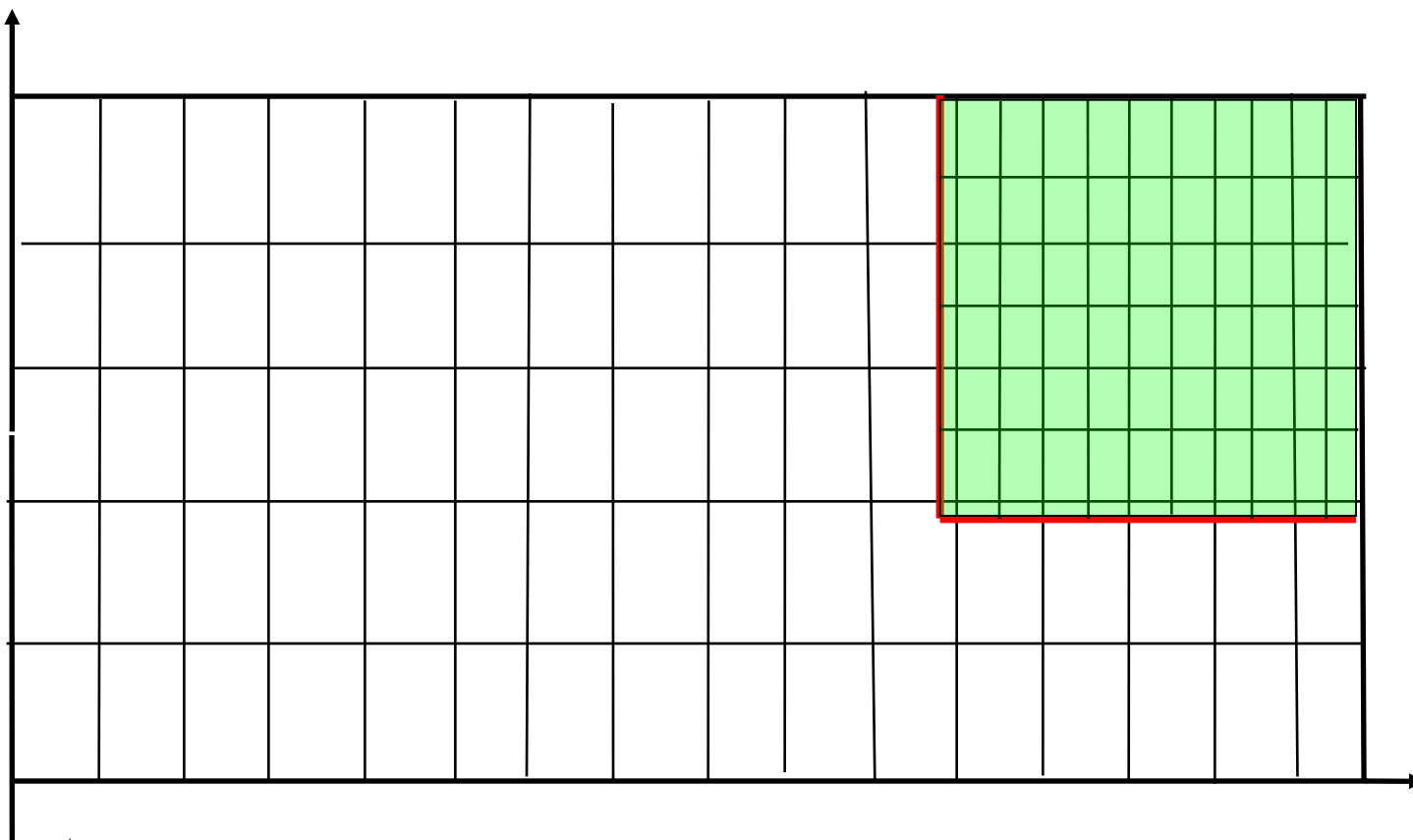
- *Сорокин С.Б.*
- *ИВМиМГ (Новосибирск)*
- *НГУ (Новосибирск)*









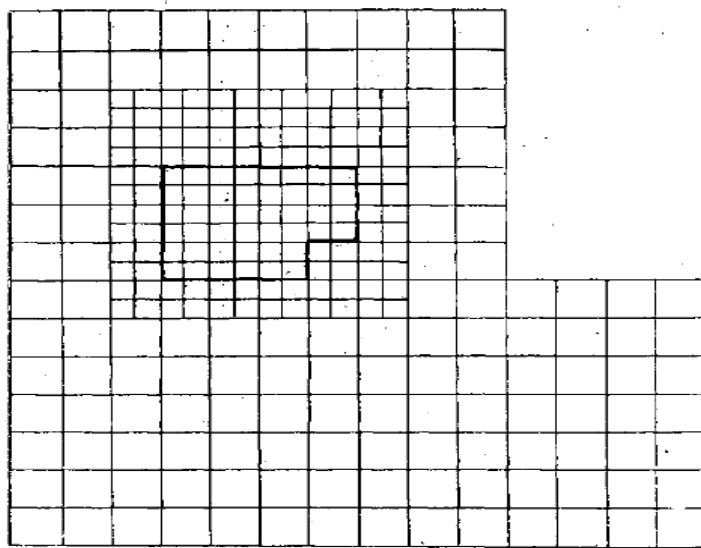


УДК 519.63

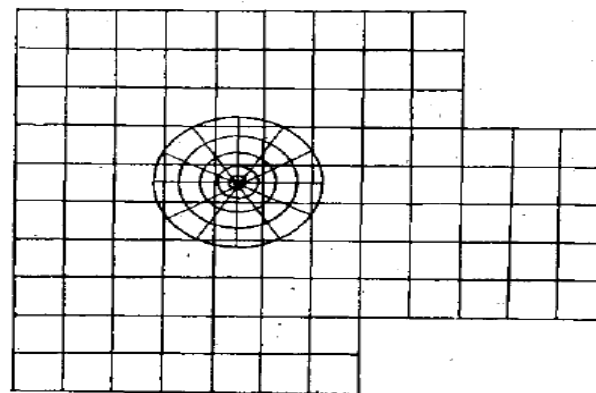
АДАПТИВНЫЕ СЕТКИ СОСТАВНОГО ТИПА В ЗАДАЧАХ
МАТЕМАТИЧЕСКОЙ ФИЗИКИ ¹⁾

ВАБИЩЕВИЧ П. Н.

(Москва)



Фиг. 4

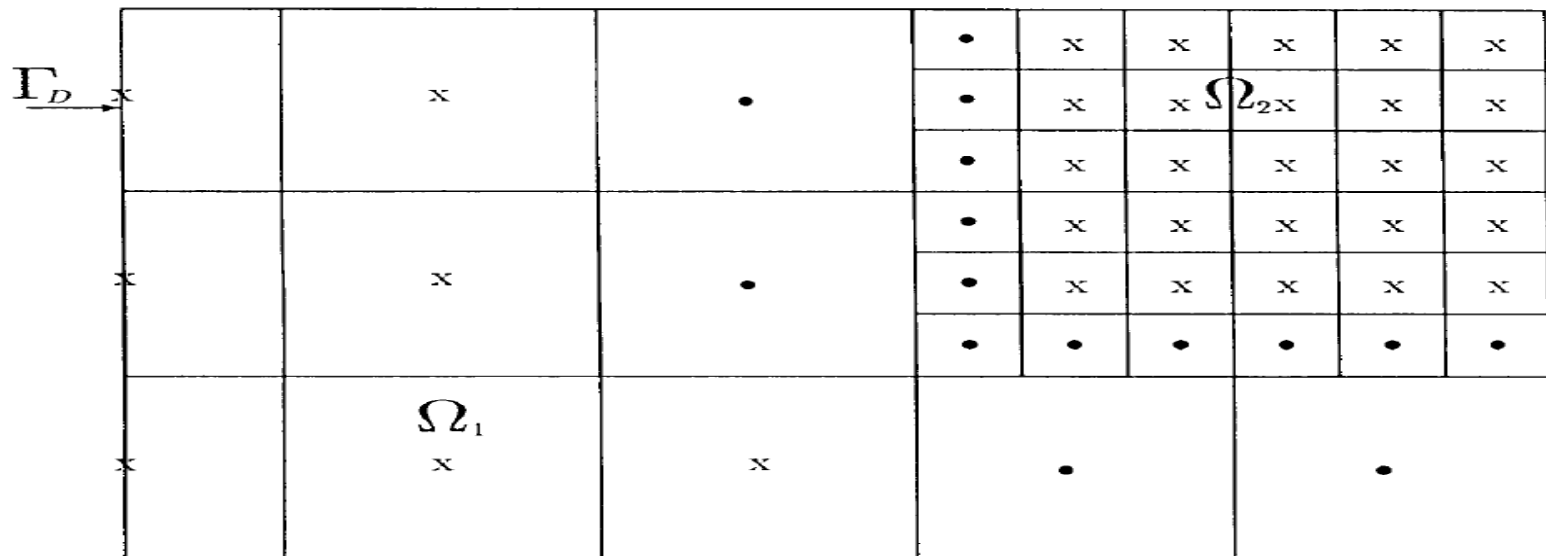


Фиг. 5

LOCAL REFINEMENT TECHNIQUES FOR ELLIPTIC PROBLEMS ON CELL-CENTERED GRIDS I. ERROR ANALYSIS

R. E. EWING, R. D. LAZAROV, AND P. S. VASSILEVSKI

ABSTRACT. A finite difference technique on rectangular cell-centered grids with local refinement is proposed in order to derive discretizations of second-order elliptic equations of divergence type approximating the so-called balance equation. Error estimates in a discrete H^1 -norm are derived of order $h^{1/2}$ for a simple symmetric scheme, and of order $h^{3/2}$ for both a nonsymmetric and a more accurate symmetric one, provided that the solution belongs to $H^{1+\alpha}$ for $\alpha > \frac{1}{2}$ and $\alpha > \frac{3}{2}$, respectively.



x - regular grid points,

• - irregular grid points

FIGURE 2.2

A Supra-Convergent Finite Difference Scheme for the Poisson and Heat Equations on Irregular Domains and Non-Graded Adaptive Grids

Han Chen *

Chohong Min †

Frédéric Gibou ‡

21st March 2006

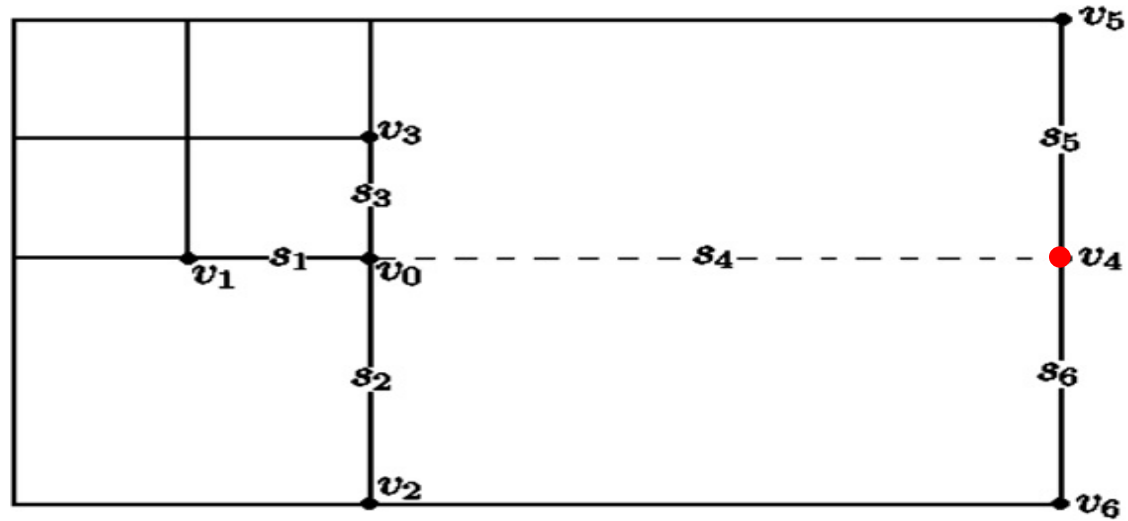


Figure 3: A configuration illustrating the nodes involved in the discretization at a T-junction node v_0 .

The discretizations for $(\rho u_x)_x$ and $(\rho u_y)_y$ at node v_0 , along with their Taylor analysis, are given by

$$\left(\frac{u_1 - u_0}{s_1} \cdot \frac{\rho_1 + \rho_0}{2} + \frac{s_6 D_5 + s_5 D_6}{s_5 + s_6} \right) \cdot \frac{2}{s_1 + s_4} = (\rho u_x)_x + \frac{s_5 s_6}{(s_1 + s_4) s_4} (\rho u_y)_y + O(h), \quad (5)$$

and

$$\left(\frac{u_2 - u_0}{s_2} \cdot \frac{\rho_2 + \rho_0}{2} + \frac{u_3 - u_0}{s_3} \cdot \frac{\rho_3 + \rho_0}{2} \right) \cdot \frac{2}{s_2 + s_3} = (\rho u_y)_y + O(h), \quad (6)$$

respectively, where

$$\begin{aligned} D_5 &= \frac{u_5 - u_0}{s_4} \cdot \frac{\rho_5 + \rho_0}{2}, \\ D_6 &= \frac{u_6 - u_0}{s_4} \cdot \frac{\rho_6 + \rho_0}{2}. \end{aligned}$$

■ Василевский Ю.В.

■ Никитин К.Д. (Диссертация 2010)

■ Данилов А.А.

Василевский Ю.В. Методы решения краевых задач с использованием нестыкующихся сеток, Труды Математического центра им. Н.И. Лобачевского. – Казань: УНИПРЕСС, 1999. – Т 2. – С. 94–121.

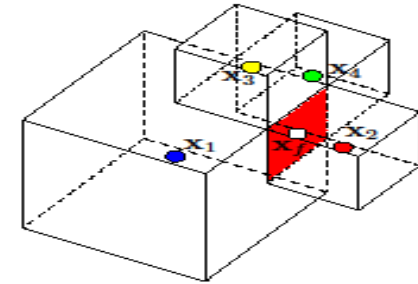
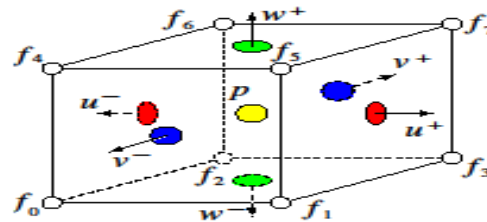
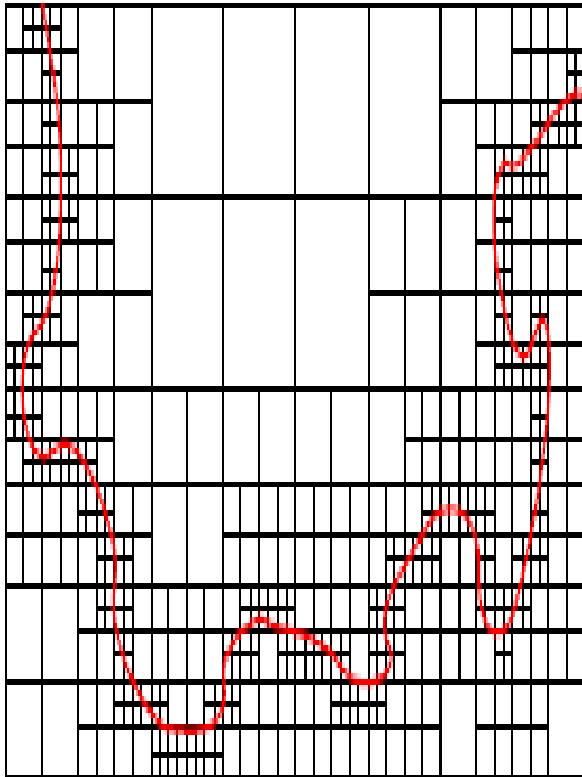


Рис. 3.2. Слева: Расположение степеней свободы на разнесенной сетке; p - давление, $\{u^\pm, v^\pm, w^\pm\}$ - компоненты скорости, f - скалярная функция, например, функция уровня. Справа: шаблон дискретизации $p_x(x_f)$.

Во втором случае размеры ячеек, разделяющих грань, различные. Для простоты рассмотрим дискретизацию x -компонента оператора градиента в центре грани x_f , как показано на рис. 3.2. Для этого рассмотрим центры четырех соседних ячеек x_1, \dots, x_4 и запишем формулу Тейлора для давления $p(x_f)$ через значения $p(x_i)$:

$$p(x_i) = p(x_f) + \nabla p(x_f) \cdot (x_i - x_f) + O(|x_i - x_f|^2).$$

Пренебрегая членами второго порядка, мы получим систему из 4 линейных уравнений с 4 неизвестными.

Решая ее методом Крамера получаем следующий шаблон для x -компонента оператора градиента:

$$p_x(x_f) \approx \frac{D_{f,1}}{D_f} p_1 + \frac{D_{f,2}}{D_f} p_2 + \frac{D_{f,3}}{D_f} p_3 + \frac{D_{f,4}}{D_f} p_4, \quad (3.13)$$

где D_f - определитель матрицы системы 4×4 , а $D_{f,i}$ - определители соответствующих миноров 3×3 .

The mimetic finite difference method on polygonal meshes for diffusion-type problems *

Y. Kuznetsov^a, K. Lipnikov^{b,**} and M. Shashkov^b

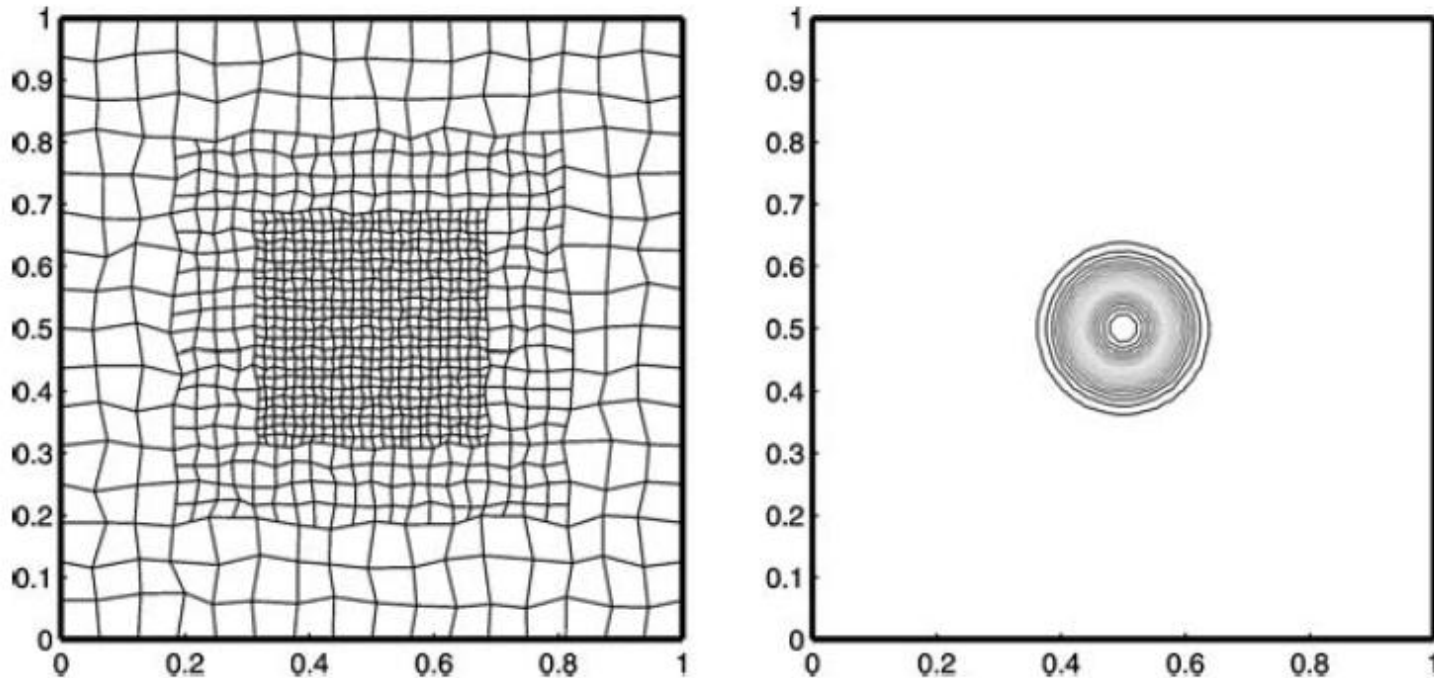


Figure 9. The computational mesh on level $l = 2$ and isolines of the discrete solution.

Let us consider a model elliptic boundary value problem that in porous medium applications models single phase Darcy flow:

$$\begin{aligned} \operatorname{div} \mathbf{F} &= b, \\ \mathbf{F} &= -\mathbf{K} \operatorname{grad} p. \end{aligned} \tag{1}$$

Let us introduce operators \mathcal{G} and \mathcal{D} for a polygon e by

$$\mathcal{G} p = -\mathbf{K} \operatorname{grad} p, \quad \mathcal{D} \mathbf{F} = \begin{cases} \operatorname{div} \mathbf{F} & \text{on } e, \\ -\mathbf{F} \cdot \mathbf{n} & \text{on } \partial e, \end{cases}$$

$$(\mathbf{F}, \mathcal{G} p)_{X,e} = (p, \mathcal{D} \mathbf{F})_{Q,e}.$$

The last expression clearly states that the flux and extended divergence operators are adjoint to each other, i.e.

$$\mathcal{G} = \mathcal{D}^*.$$

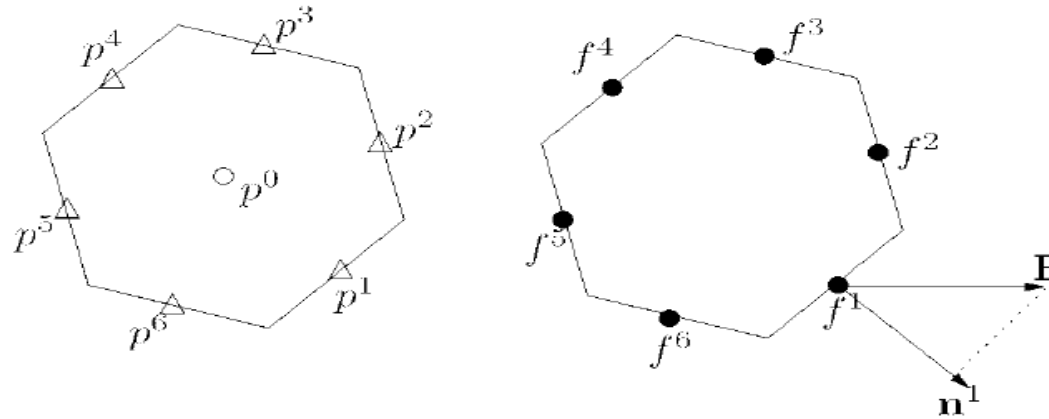


Figure 1. Location of pressure and velocity unknowns for a hexagon.

$$\mathcal{DIV}^h \vec{f} \stackrel{\text{def}}{=} \frac{1}{V_e} \sum_k f^k \ell^k.$$

The *fourth* step of the MFD method is to define the discrete flux operator \mathcal{G}^h , as the adjoint to the discrete extended divergence operator \mathcal{D}^h with respect to scalar products (4) and (5), i.e.

$$[\vec{f}, \mathcal{G}^h \vec{p}]_{X^d, e} = [\vec{p}, \mathcal{D}^h \vec{f}]_{Q^d, e} \quad \forall \vec{p} \in Q^d, \vec{f} \in X^d. \quad (7)$$

Using the discrete flux and divergence operators the continuous problem (1) is discretized as follows:

$$\begin{aligned} \mathcal{DIV}^h \vec{f} &= b_e, \\ \vec{f} &= \mathcal{G}^h \vec{p}, \end{aligned} \quad (9)$$

Kuznetsov, Yu. Efficient iterative solvers for elliptic problems on nonmatching grids. Russian Journal of Numerical Analysis and Mathematical Modeling. – 1995. – Vol. 10, No 3. – P. 187–211.

Лебедев В.И. Разностные аналоги ортогональных разложений основных дифференциальных операторов и некоторых краевых задач математической физики. I.- Журнал вычислительной математики и математической физики, 1964, т. 4, № 3, стр. 449-465.

■ Лебедев В.И. Разностные аналоги ортогональных разложений основных дифференциальных операторов и некоторых краевых задач математической физики. II.- Журнал вычислительной математики и математической физики, 1964, т. 4, № 4, стр. 649-659.

- Самарский А.А., Тишкин В.Ф., Фаворский А.П., Шашков М.Ю. О представлении разностных схем математической физики в операторной форме. Доклады АН СССР, 1981, т. 258, № 5, стр. 1092 -1096.
- Самарский А.А., Тишкин В.Ф., Фаворский А.П., Шашков М.Ю. Операторные разностные схемы. Препринт № 9. - Москва, 1981. - 32 стр. - В надзаг.: ИПМ АН СССР.
- Самарский А.А., Тишкин В.Ф., Фаворский А.П., Шашков М.Ю. Операторные разностные схемы. Дифференциальные уравнения. 1981, т. 17, № 7. стр. 1317-1327.
- Самарский А.А., Тишкин В.Ф., Фаворский А.П., Шашков М.Ю. Использование метода опорных операторов для построения разностных аналогов операций тензорного анализа. Препринт № 97. - Москва, 1981. - 16 стр. - В надзаг.: ИПМ АН СССР.
- Самарский А.А., Тишкин В.Ф., Фаворский А.П., Шашков М.Ю. Использование метода опорных операторов для построения разностных аналогов операций тензорного анализа. Дифференциальные уравнения. 1982, т. 18, № 7. стр. 1251-1256.
- Самарский А.А., Колдоба А.В., Повещенко Ю.А., Тишкин В.Ф., Фаворский А.П. Разностные схемы на нерегулярных сетках. Минск, 1996.

- Коновалов А.Н., Сорокин С.Б. Структура уравнений теории упругости. Статика. Новосибирск. Препринт ВЦ СО АН СССР, 1986. № 665, 26 стр.
- Коновалов А.Н., Сорокин С.Б. О разностных аппроксимациях уравнений теории упругости. - В сб. "Актуальные проблемы вычислительной и прикладной математики": Тезисы докладов Всесоюзной конференции, Новосибирск, 1987, стр. 103-104.
- Коновалов А.Н. Сопряженно – факторизованные модели в задачах математической физики. Препринт ВЦ СО РАН, № 1095, Новосибирск, 1997, 60 стр.
- Sorokin S.B. Application of operator structure in numerical solution of elliptic problems. Siberian Journal of Computer Mathematics, v. 1, № 3, 1992, pp. 259-274, Nova Science Publishers, Inc.
- Сорокин С.Б. Метод поэтапного обращения для численного решения бигармонического уравнения. Сибирский математический журнал, Институт математики СО РАН, Новосибирск, 1995. т. 36., № 3. стр. 659--663.
- Sorokin S.B. Step-by-step inversion method for elasticity problems. Сибирский журнал вычислительной математики РАН СО, т.1, №1, Новосибирск, 1998 , стр. 89-97.

- J. Hyman, M. Shashkov. The Approximation of Boundary Conditions for Mimetic Finite Difference Methods. Los Alamos National Laboratory, T-7, MS-B284, Los Alamos NM 87545, November &, 1997.
- J. Hyman, M. Shashkov. Mimetic Discretizations for Maxwell's Equations. *Journal of Computational Physics* 151, 881909,(1999).
 - M. Berndt, K. Lipnikov, J.D. Moulton, and M. Shashkov. Convergence of mimetic finite difference discretizations of diffusion equation. *East-West J. Numer. Math.*, 9: 253-284,2001.
 - J. Hyman, J. Morel, M. Shashkov, and S. Steinberg. Mimetic finite difference methods for diffusion equation. *Comp. Geosciences*, 6(3-4): 333-352, 2002.
 - F. Brezzi, K. Lipnikov, M. Shashkov. Convergence of Mimetic Finite Difference Method for Diffusion Problems on Polyhedral Meshes. August, 2004.
 - K. Lipnikov, M. Shashkov, D. Svyatskiy. The mimetic finite difference discretization of diffusion problems on unstructured polyhedral meshes. *Journal of Computational Physics* 211, (2006), 473-491.
 - M. Berndt, K. Lipnikov, M. Shashkov, M.F. Wheeler, I. Yotov. A mortar mimetic finite difference method on non-matching grids. *Numer. Math.* (2005).
 - И т.д.

■ *Математические модели для классических стационарных задач механики сплошной среды обладают сопряжено-операторной структурой.*

Математические модели физического явления основаны на:

- *законе (законах) сохранения,*
- *уравнении состояния,*
- *определяющих соотношениях.*

■ Как правило, оператор в определяющих соотношениях R сопряжен по Лагранжу оператору R^* в законе сохранения.

■ Трактуя математическую модель как операторные уравнения в гильбертовых пространствах, имеем:

$$R^* w = f, \quad w = Kq, \quad q = Ru,$$

$$u \in U(R) \subset H, \quad w \in U(R^*) \subset H^*.$$

■ Математическая модель задачи теплопроводности:

■ Искомые переменные:

$\mathbf{w} = (w_1, w_2)^T$ – плотность теплового потока (вектор = тензор ранга 1),

$\mathbf{q} = (q_1, q_2)^T$ – тепловой поток (вектор = тензор ранга 1),

u – температура (скаляр)

■ В области Ω выполняются уравнения

$$R^* \mathbf{w} = \operatorname{div} \mathbf{w} = \begin{bmatrix} \frac{\partial}{\partial x_1} & \frac{\partial}{\partial x_2} \end{bmatrix} \begin{bmatrix} w_1 \\ w_2 \end{bmatrix} = f, \quad \mathbf{q} = R u = -\operatorname{grad} u = - \begin{bmatrix} \frac{\partial}{\partial x_1} \\ \frac{\partial}{\partial x_2} \end{bmatrix} u.$$

$$\mathbf{w} = \mathbf{K} \mathbf{q} = \begin{bmatrix} k_{11} & k_{12} \\ k_{21} & k_{22} \end{bmatrix} \mathbf{q},$$

■ Граничные условия $u|_{\partial\Omega} = 0$

$$\int_D (u \operatorname{div} \mathbf{w}) dV = \int_D (-\operatorname{grad} u \cdot \mathbf{w}) dV + \int_S u (\mathbf{n} \cdot \mathbf{w}) dS$$

■ Итак для задачи теплопроводности, имеем:

$$R^* \mathbf{w} = f, \quad \mathbf{w} = \mathbf{K} \mathbf{q}, \quad \mathbf{q} = Ru,$$

$$u \in U(R) \subset H, \quad \mathbf{w} \in U(R^*) \subset H^*.$$

■ Здесь $H = L_2(\Omega)$ и $H^* = L_2(\Omega) \times L_2(\Omega)$ гильбертовы пространства со скалярными произведениями

$$(u, v)_H = \int_{\Omega} u v d\Omega \quad \forall u, v \in H$$

$$(\mathbf{w}, \mathbf{g})_{H^*} = \int_{\Omega} (w_1 g_1 + w_2 g_2) d\Omega \quad \forall \mathbf{w} = \begin{bmatrix} w_1 \\ w_2 \end{bmatrix}, \mathbf{g} = \begin{bmatrix} g_1 \\ g_2 \end{bmatrix} \in H^*$$

■ Интегральное тождество с предыдущей страницы, означающее сопряженность по Лагранжу операторов

$$R = -grad \quad \blacksquare \text{ и } \quad R^* = div$$

■ записывается в форме

$$(Ru, \mathbf{w})_{H^*} = (u, R^* \mathbf{w})_H$$

■ Статическая задача теории упругости

$\mathbf{w} = \boldsymbol{\sigma} = (\sigma_{11}, \sigma_{22}, \sigma_{12})^T$ – "тензор" напряжений (ранга 2),

$\mathbf{q} = \boldsymbol{\varepsilon} = (\varepsilon_{11}, \varepsilon_{22}, 2\varepsilon_{12})^T$ – "тензор" деформаций (ранга 2),

$\mathbf{u} = (u_1, u_2)^T$ – вектор перемещений (тензор ранга 1),

$$R^* \boldsymbol{\sigma} = -\operatorname{div} \boldsymbol{\sigma} = - \begin{bmatrix} \frac{\partial}{\partial x_1} & 0 & \frac{\partial}{\partial x_2} \\ 0 & \frac{\partial}{\partial x_2} & \frac{\partial}{\partial x_1} \end{bmatrix} \begin{bmatrix} \sigma_{11} \\ \sigma_{22} \\ \sigma_{12} \end{bmatrix} = \mathbf{f}, \quad \boldsymbol{\varepsilon} = R\mathbf{u} = \begin{bmatrix} \frac{\partial}{\partial x_1} & 0 & \frac{\partial}{\partial x_2} \\ 0 & \frac{\partial}{\partial x_2} & \frac{\partial}{\partial x_1} \end{bmatrix}^T \begin{bmatrix} u_1 \\ u_2 \end{bmatrix},$$

$$\boldsymbol{\sigma} = \mathbf{K}\boldsymbol{\varepsilon} = \begin{bmatrix} \lambda + 2\mu & \lambda & 0 \\ \lambda & \lambda + 2\mu & 0 \\ 0 & 0 & \mu \end{bmatrix} \boldsymbol{\varepsilon}, \quad \text{закон Гука.}$$

$$\int_D \boldsymbol{\sigma} \cdot \mathbf{L} dV = \int_D -\operatorname{div} \boldsymbol{\sigma} \cdot \mathbf{u} dV + \int_S \overset{\circ}{\boldsymbol{\sigma}} \mathbf{n} \cdot \mathbf{u} dS. \quad (L_j^i) = \frac{1}{2} (\nabla_j u^i + \nabla_i u^j).$$

■ Общая схема построения дискретного аналога сопряженно-операторной модели

- 1. Выбираем за опорный оператор R .
- 2. Строим какую-либо его аппроксимацию R_h .
- 3. За аппроксимацию оператора R^* берем сопряженный к R_h : $R_h^* = (R_h)^*$

$$R_h : H_h \rightarrow H_h^*, \quad R_h^* : H_h^* \rightarrow H_h,$$

$$(R_h u^h, \mathbf{w}^h)_{H_h^*} = (u^h, R_h^* \mathbf{w}^h)_{H_h}.$$

- Здесь H_h и H_h^* конечномерные гильбертовы пространства сеточных функций и вектор функций.

- В результате, *независимо* от выбора R_h , *однозначно* определяется R_h^*

■ Если ввести

■ e_j - ортогональный базис в H_h (в скалярном произведении $(\cdot, \cdot)_{H_h}$),

■ то действие оператора R_h^* на любую сеточную функцию из H_h^* **однозначно** определяется по формуле

$$R_h^* \mathbf{w}^h = \sum_{j=1}^N \frac{(R_h^* \mathbf{w}^h, e_j)_{H_h}}{(e_j, e_j)_{H_h}} e_j = \sum_{j=1}^N \frac{(\mathbf{w}^h, R_h e_j)_{H_h^*}}{(e_j, e_j)_{H_h}} e_j.$$

■ Другими словами: **Как только введен R_h** (определено его действие в H_h), **так вы сразу знаете как действует R_h^*** ,

■ и сопряжено-операторная дискретная модель имеет вид:

$$\begin{aligned} R_h^* \mathbf{w}^h = f^h, \mathbf{w}^h = \mathbf{K}_h \mathbf{q}^h, \mathbf{q}^h = R_h u^h, & \quad \Rightarrow \quad R_h^* \mathbf{K}_h R_h u^h = f^h, \\ u^h \in H_h, \mathbf{w}^h \in H_h^*. & \quad \quad \quad u^h \in H_h. \end{aligned}$$

■ Реализация общей схемы построения дискретного аналога применительно к задаче теплопроводности

■ Конкретные этапы построения:

■ 1. Построение сетки.

■ 2. Выбор точек, где будут определяться приближения к температуре u^h и потокам $\mathbf{q}^h \leftrightarrow \mathbf{w}^h$.

■ 3. Выбор конкретной аппроксимации оператора R_h .

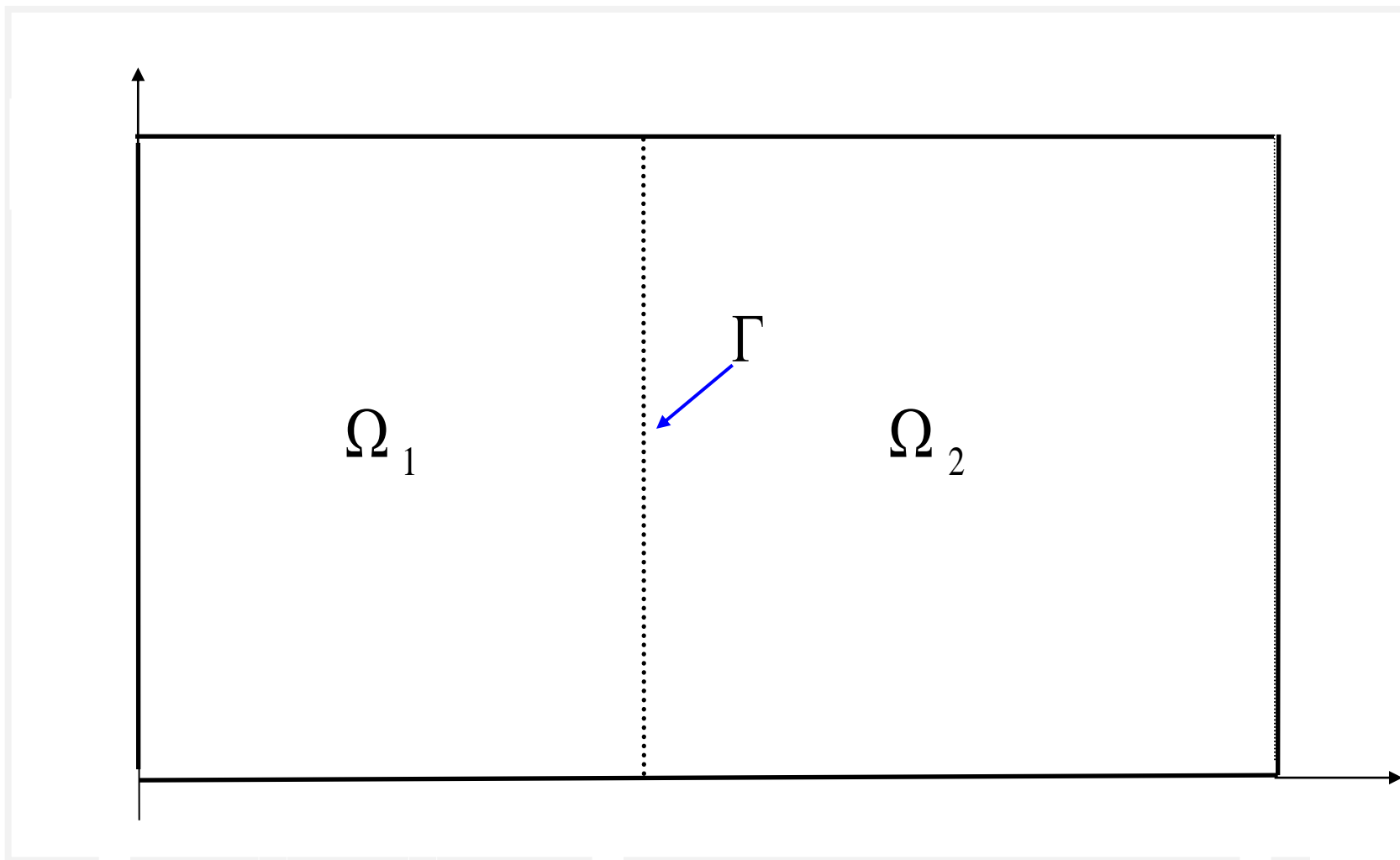
■ 4. Определение дискретных пространств H_h для u^h и H_h^* для \mathbf{w}^h и скалярных произведений в них.

■ 5. Построение аппроксимации оператора R^* как сопряженного к R_h : $R_h^* = (R_h)^*$.

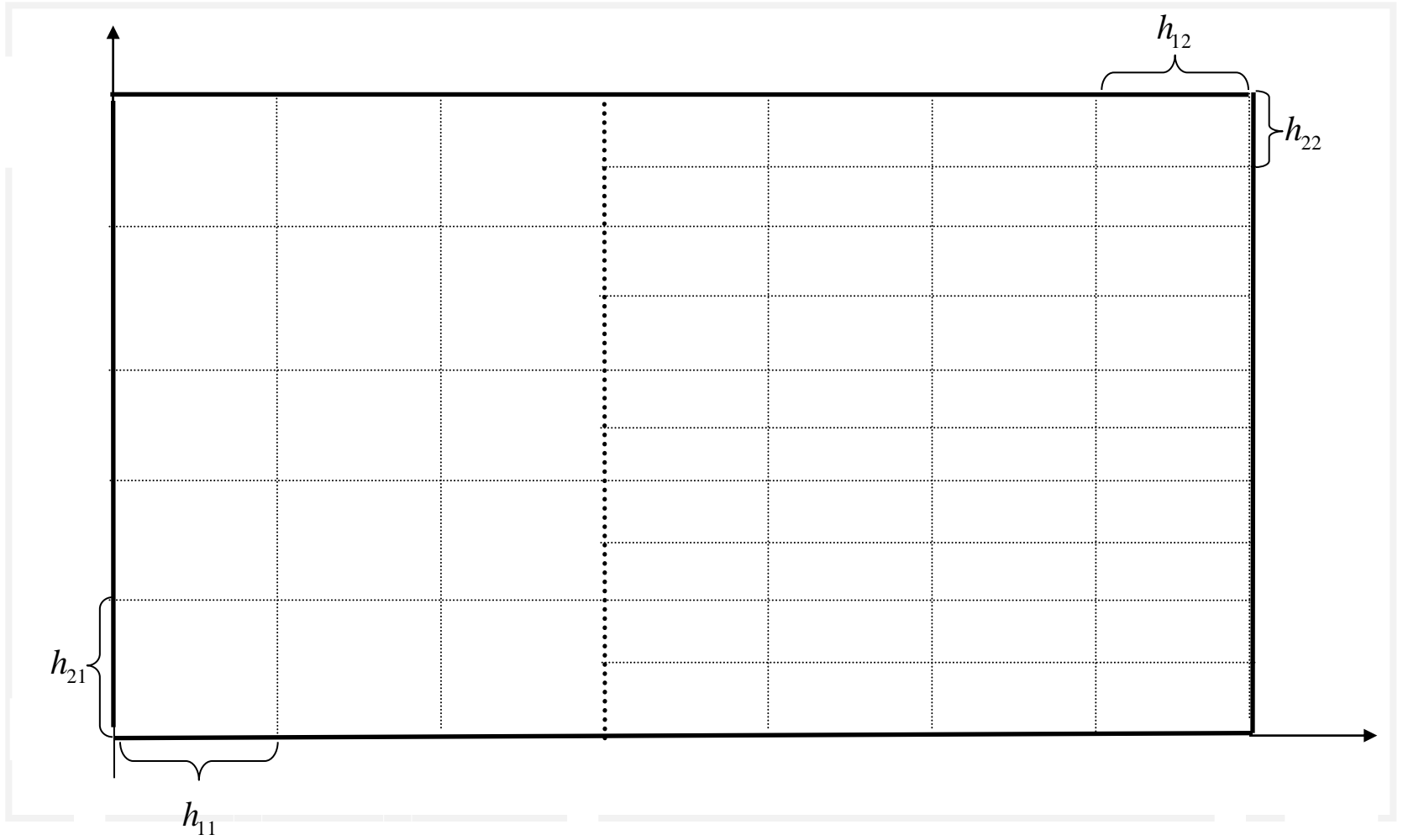
■ 6. Построение аппроксимации тензора \mathbf{K} .

■ 7. Окончательная формулировка дискретного аналога.

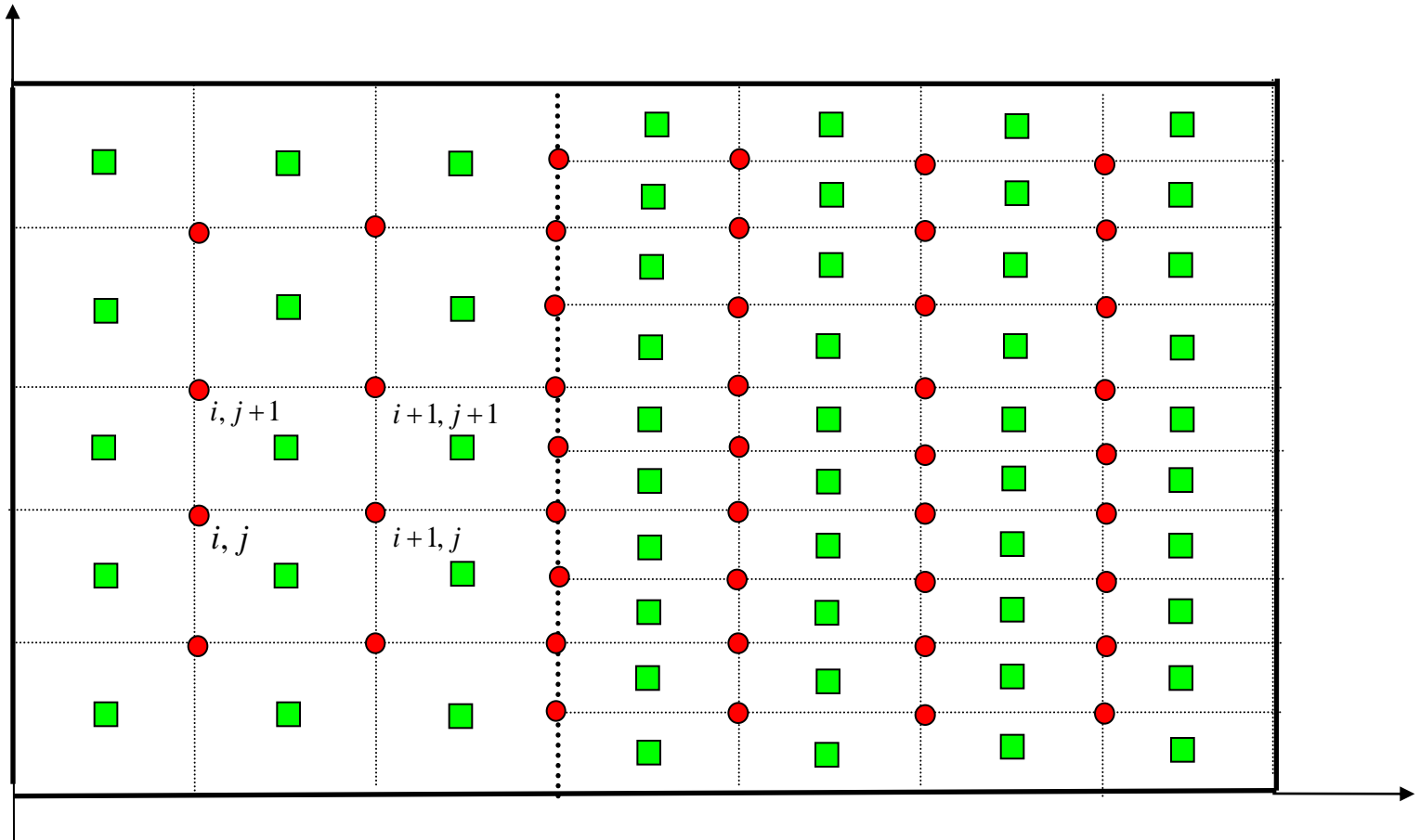
■ Область Ω



Сетка



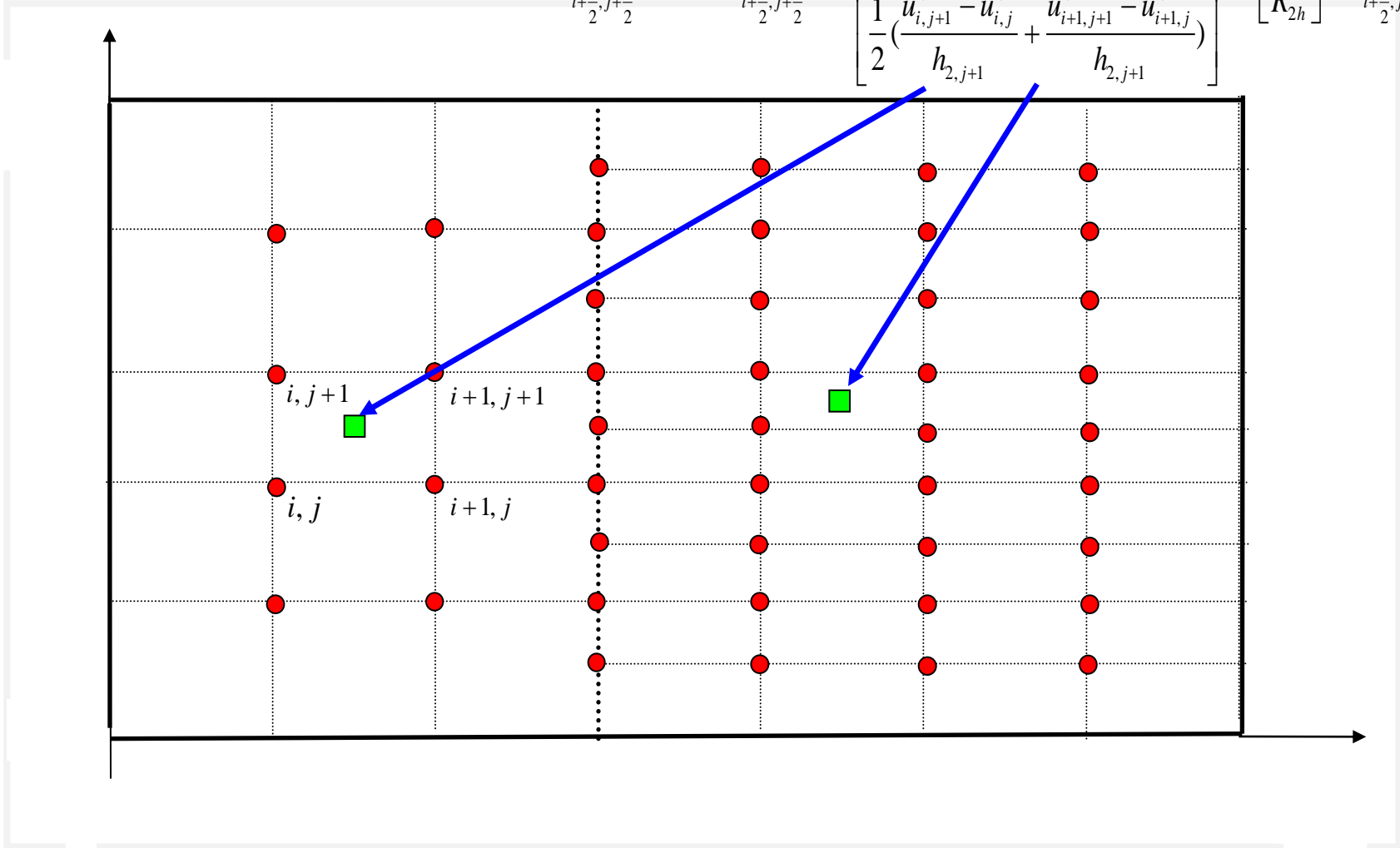
- **Сетки для u^h и w^h :** u^h определяется в «целых» точка ●
- w^h определяется в «полуцелых» точка ■



- ω_i сетка из красных точек в $\Omega_i, i=1,2$, ω_Γ сетка красных точек в Γ
- $\omega_{i, \frac{1}{2}}$ сетка из зеленых квадратов в $\Omega_i, i=1,2$,

■ Аппроксимация оператора R_h

$$[q^h]_{i+\frac{1}{2},j+\frac{1}{2}} = (R_h u^h)_{i+\frac{1}{2},j+\frac{1}{2}} = - \begin{bmatrix} \frac{1}{2} \left(\frac{u_{i+1,j}^h - u_{i,j}^h}{h_{1,i+1}} + \frac{u_{i+1,j+1}^h - u_{i,j+1}^h}{h_{1,i+1}} \right) \\ \frac{1}{2} \left(\frac{u_{i,j+1}^h - u_{i,j}^h}{h_{2,j+1}} + \frac{u_{i+1,j+1}^h - u_{i+1,j}^h}{h_{2,j+1}} \right) \end{bmatrix} = \begin{bmatrix} R_{1h} \\ R_{2h} \end{bmatrix} u^h \Big|_{i+\frac{1}{2},j+\frac{1}{2}}$$



■ Определение дискретных пространств:

■ H_h пространство сеточных функций u^h определенных в «целых» точка и принимающих нулевое значение на границе

■ H_h^* пространство сеточных функций w^h определенных в «полуцелых» точка

■ Скалярные произведения в H_h и H_h^* :

$$(u^h, v^h)_{H_h} = \sum_{(x_{11,i}, x_{21,j}) \in \omega_1} u^h(x_{11,i}, x_{21,j}) v^h(x_{11,i}, x_{21,j}) h_{11} h_{21} +$$

$$+ \sum_{(x_{12,0}, x_{22,j}) \in \omega_\Gamma} u^h(x_{12,0}, x_{22,j}) v^h(x_{12,0}, x_{22,j}) \left(\frac{h_{11}}{2} + \frac{h_{12}}{2} \right) h_{22} + \sum_{(x_{12,i}, x_{22,j}) \in \omega_2} u^h(x_{12,i}, x_{22,j}) v^h(x_{12,i}, x_{22,j}) h_{12} h_{22},$$

$$\forall u^h \in H_h, v^h \in H_h.$$

$$(w^h, \sigma^h)_{H_h^*} = \sum_{(x_{11,i+\frac{1}{2}}, x_{21,j+\frac{1}{2}}) \in \omega_{\frac{1}{2}}} \sum_{k=1}^2 w_k^h(x_{11,i+\frac{1}{2}}, x_{21,j+\frac{1}{2}}) \sigma_k^h(x_{11,i+\frac{1}{2}}, x_{21,j+\frac{1}{2}}) h_{11} h_{21} + \sum_{(x_{12,i+\frac{1}{2}}, x_{22,j+\frac{1}{2}}) \in \omega_{\frac{1}{2}}} \sum_{k=1}^2 w_k^h(x_{12,i+\frac{1}{2}}, x_{22,j+\frac{1}{2}}) \sigma_k^h(x_{12,i+\frac{1}{2}}, x_{22,j+\frac{1}{2}}) h_{12} h_{22},$$

$$\forall w^h \in H_h^*, \sigma^h \in H_h^*.$$

■ В качестве базиса в H_h возьмем систему сеточных функций, каждая из которых равна единице в одной из точек сетки $\omega_1 \cup \Gamma \cup \omega_2$. а во всех остальных точках равна нулю:

$$e_{1,kl}(x_{11,i}, x_{21,j}) = \begin{cases} 0, & i \neq k, j \neq l, \\ 1, & i = k, j = l, \end{cases} \quad i, k = \overline{1, N_{11}}, j, l = \overline{1, N_{21}},$$

$$e_{1,kl}(x_{12i}, x_{22,j}) = 0, \quad k = \overline{1, N_{11}}, l = \overline{1, N_{21}}, \quad \forall (x_{12,i}, x_{22,j}) \in \omega_2 \cup \Gamma,$$

$$e_{\Gamma,l}(x_{12,0}, x_{22,j}) = \begin{cases} 0, & j \neq l, \\ 1, & j = l, \end{cases} \quad j, l = \overline{1, N_{22}},$$

$$e_{\Gamma,l}(x_{1h}, x_{2h}) = 0, \quad l = \overline{1, N_{22}}, \quad \forall (x_{1h}, x_{2h}) \in \omega = \omega_1 \cup \omega_2,$$

$$e_{2,kl}(x_{12,i}, x_{22,j}) = \begin{cases} 0, & i \neq k, j \neq l, \\ 1, & i = k, j = l, \end{cases} \quad i, k = \overline{1, N_{12}}, j, l = \overline{1, N_{22}},$$

$$e_{2,kl}(x_{11,i}, x_{21,j}) = 0, \quad k = \overline{1, N_{12}}, l = \overline{1, N_{22}}, \quad \forall (x_{12,i}, x_{22,j}) \in \omega_1 \cup \Gamma.$$

■ Аппроксимация оператора R^* в $\omega_1 \cup \omega_2$: $R_h^* \mathbf{w}^h = \sum_{j=1}^N \frac{(\mathbf{w}^h, R_h e_j)_{H_h^*}}{(e_j, e_j)_{H_h}} e_j$.

$$(x_{11,i}, x_{21,j}) \in \omega_1, \quad i = \overline{1, N_{11}}, \quad j = \overline{1, N_{21}}$$

$$R_h^* \mathbf{w}^h(x_{11,i}, x_{21,j}) =$$

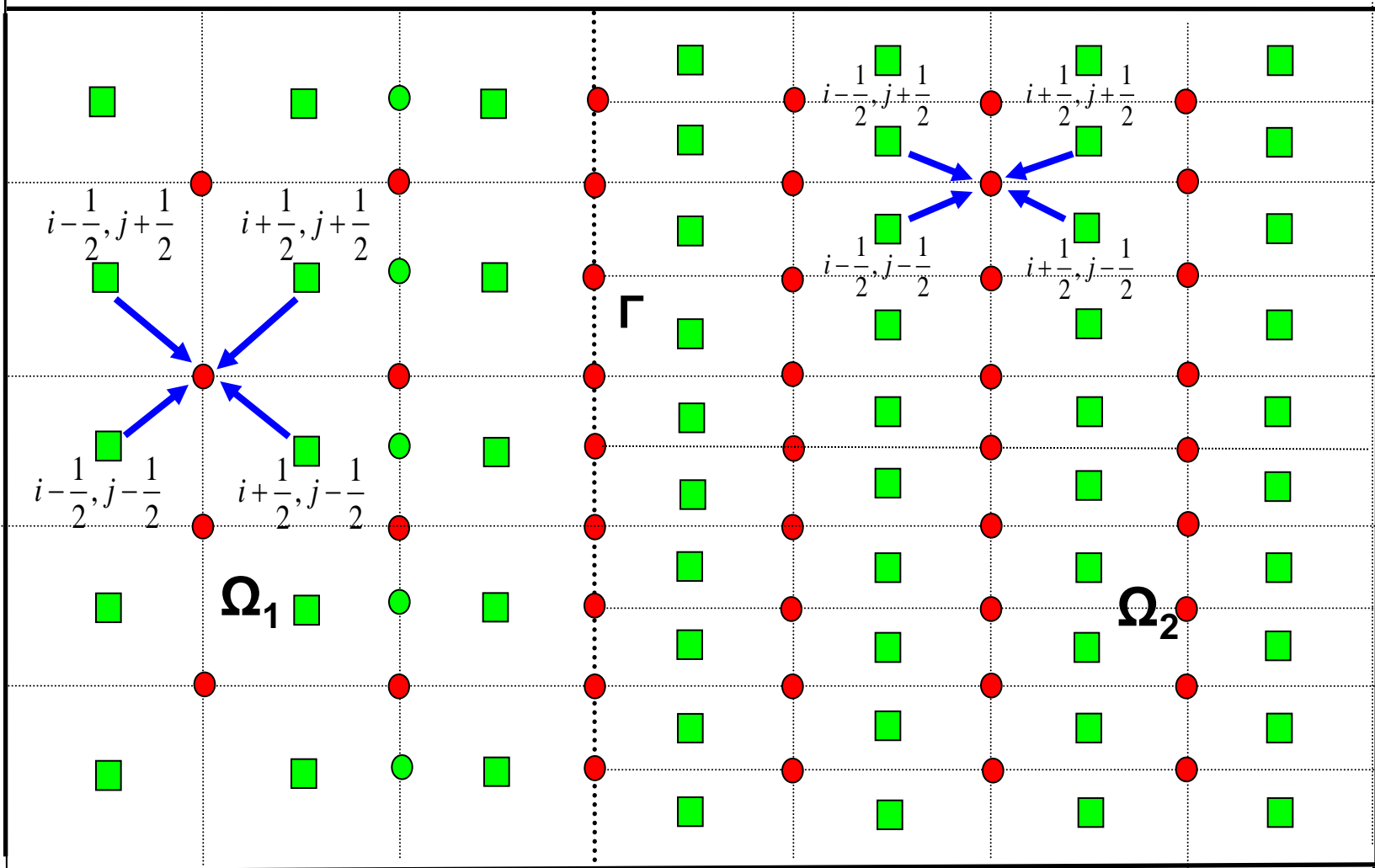
$$= \sum_{k=1}^{N_{11}} \sum_{l=1}^{N_{21}} \frac{(\mathbf{w}^h, R_h e_{1,kl})_{H_h^*}}{(e_{1,kl}, e_{1,kl})_{H_h}} e_{1,kl}(x_{11,i}, x_{21,j}) = \frac{(\mathbf{w}^h, R_h e_{1,ij})_{H_h^*}}{(e_{1,ij}, e_{1,ij})_{H_h}} e_{1,ij}(x_{11,i}, x_{21,j}) =$$

$$= \frac{1}{2} \left[\frac{w_1^h(x_{11,i+\frac{1}{2}}, x_{21,j+\frac{1}{2}}) - w_1^h(x_{11,i-\frac{1}{2}}, x_{21,j+\frac{1}{2}})}{h_{11}} + \frac{w_1^h(x_{11,i+\frac{1}{2}}, x_{21,j-\frac{1}{2}}) - w_1^h(x_{11,i-\frac{1}{2}}, x_{21,j-\frac{1}{2}})}{h_{11}} \right] +$$

$$+ \frac{1}{2} \left[\frac{w_2^h(x_{11,i+\frac{1}{2}}, x_{21,j+\frac{1}{2}}) - w_2^h(x_{11,i+\frac{1}{2}}, x_{21,j-\frac{1}{2}})}{h_{21}} + \frac{w_2^h(x_{11,i-\frac{1}{2}}, x_{21,j+\frac{1}{2}}) - w_2^h(x_{11,i-\frac{1}{2}}, x_{21,j-\frac{1}{2}})}{h_{21}} \right]$$

Действие оператора

$$R_h^* \mathbf{w}^h(x_{11,i}, x_{21,j})$$



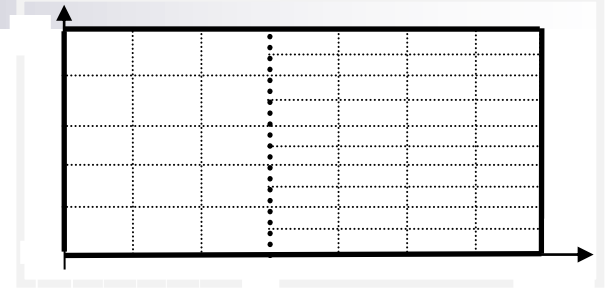
x_1

■ Аппроксимация оператора R^* на Γ :

$$(x_{12,0}, x_{22,j}) \in \Gamma, \quad j = \overline{1, N_{22}},$$

$$R_h^* \mathbf{w}^h(x_{12,0}, x_{22,j}) = \sum_{l=1}^{N_{22}} \frac{(\mathbf{w}^h, R_h e_{\Gamma,l})_{H_h^*}}{(e_{\Gamma,l}, e_{\Gamma,l})_{H_h}} e_{\Gamma,l}(x_{12,0}, x_{22,j}) = \frac{(\mathbf{w}^h, R_h e_{\Gamma,j})_{H_h^*}}{(e_{\Gamma,j}, e_{\Gamma,j})_{H_h}} e_{\Gamma,j}(x_{12,0}, x_{22,j}) =$$

$$j \in \overline{1, N_{22}} \quad k = 0, \frac{N_{22}}{2}$$



$$= \begin{cases} \frac{1}{2} \left[\frac{w_1^h(x_{12, \frac{1}{2}}, x_{22, j + \frac{1}{2}}) + w_1^h(x_{12, \frac{1}{2}}, x_{22, j - \frac{1}{2}})}{\left(\frac{h_{11}}{2} + \frac{h_{12}}{2}\right)} \right] + \frac{1}{2} \frac{h_{12}}{\left(\frac{h_{11}}{2} + \frac{h_{12}}{2}\right)} \left[\frac{w_2^h(x_{12, \frac{1}{2}}, x_{22, j + \frac{1}{2}}) - w_2^h(x_{12, \frac{1}{2}}, x_{22, j - \frac{1}{2}})}{h_{22}} \right], & j = 2k + 1, \\ \frac{1}{2} \left[\frac{w_1^h(x_{12, \frac{1}{2}}, x_{22, j + \frac{1}{2}}) - \frac{h_{21}}{h_{22}} w_1^h(x_{11, N_{11} + \frac{1}{2}}, x_{21, k + \frac{1}{2}})}{\left(\frac{h_{11}}{2} + \frac{h_{12}}{2}\right)} + \frac{w_1^h(x_{12, \frac{1}{2}}, x_{22, j - \frac{1}{2}}) - \frac{h_{21}}{h_{22}} w_1^h(x_{11, N_{11} + \frac{1}{2}}, x_{21, k - \frac{1}{2}})}{\left(\frac{h_{11}}{2} + \frac{h_{12}}{2}\right)} \right] + \\ + \frac{1}{2} \left[\frac{h_{12}}{\left(\frac{h_{11}}{2} + \frac{h_{12}}{2}\right)} \frac{w_2^h(x_{12, \frac{1}{2}}, x_{22, j + \frac{1}{2}}) - w_2^h(x_{12, \frac{1}{2}}, x_{22, j - \frac{1}{2}})}{h_{22}} + \frac{h_{11}}{\left(\frac{h_{11}}{2} + \frac{h_{12}}{2}\right)} \frac{w_2^h(x_{11, N_{11} + \frac{1}{2}}, x_{21, k + \frac{1}{2}}) - w_2^h(x_{11, N_{11} + \frac{1}{2}}, x_{21, k - \frac{1}{2}})}{h_{22}} \right], & j = 2k, \end{cases}$$

■ Если сетка ω_1 неравномерная то изменяется скалярное произведение и выражение для $R_h^* \mathbf{w}^h$

$$R_h^* \mathbf{w}^h(x_{i,j}) = \frac{1}{2} \left[\frac{h_{2,j+1}}{\hat{h}_{2,j}} \frac{w_1^h(x_{11,i+\frac{1}{2}}, x_{21,j+\frac{1}{2}}) - w_1^h(x_{11,i-\frac{1}{2}}, x_{21,j+\frac{1}{2}})}{\hat{h}_{1,i}} + \frac{h_{2,j}}{\hat{h}_{2,j}} \frac{w_1^h(x_{11,i+\frac{1}{2}}, x_{21,j-\frac{1}{2}}) - w_1^h(x_{11,i-\frac{1}{2}}, x_{21,j-\frac{1}{2}})}{\hat{h}_{1,i}} \right] +$$

$$+ \frac{1}{2} \left[\frac{h_{1,i+1}}{\hat{h}_{1,i}} \frac{w_2^h(x_{11,i+\frac{1}{2}}, x_{21,j+\frac{1}{2}}) - w_2^h(x_{11,i+\frac{1}{2}}, x_{21,j-\frac{1}{2}})}{\hat{h}_{2,j}} + \frac{h_{1,i}}{\hat{h}_{1,i}} \frac{w_2^h(x_{11,i-\frac{1}{2}}, x_{21,j+\frac{1}{2}}) - w_2^h(x_{11,i-\frac{1}{2}}, x_{21,j-\frac{1}{2}})}{\hat{h}_{2,j}} \right]$$

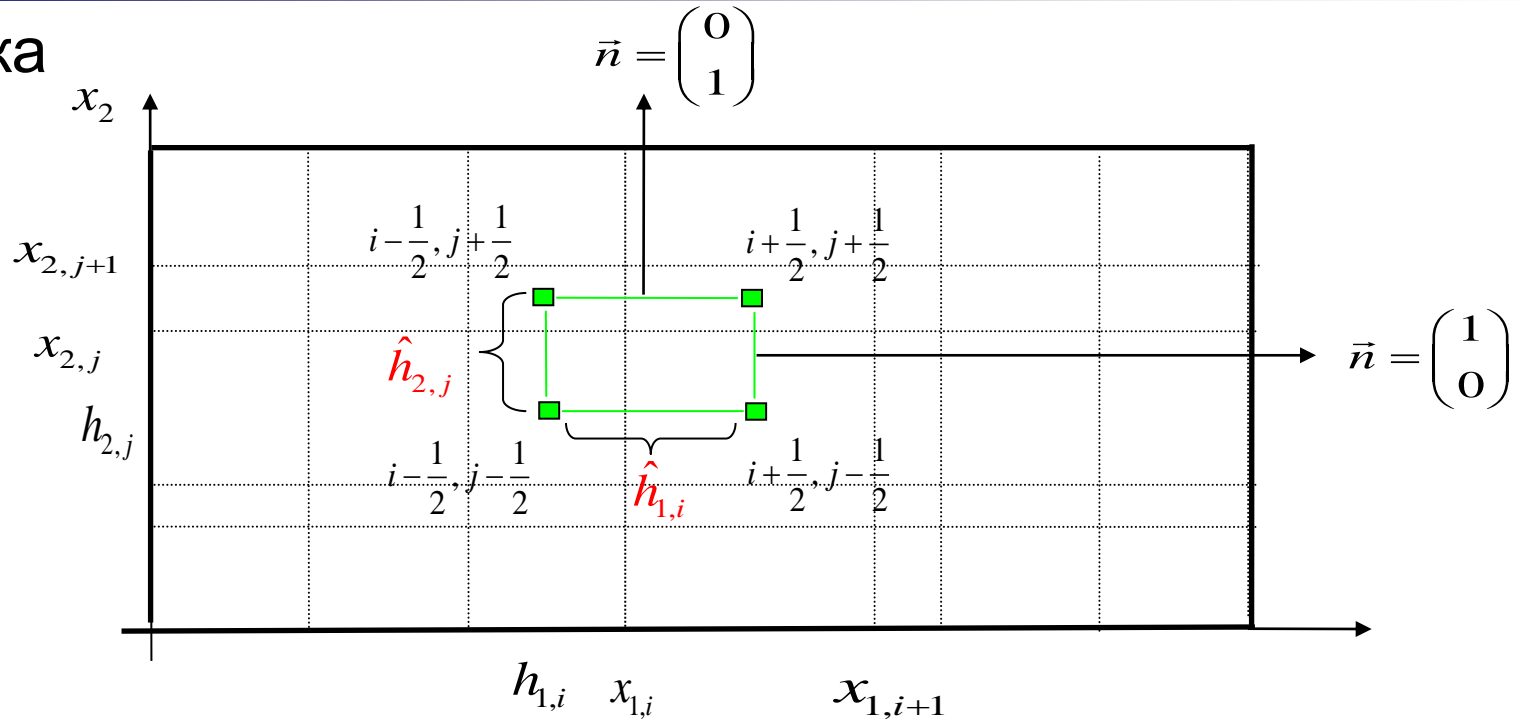
$$\hat{h}_{1,i} = \frac{h_{1,i} + h_{1,i+1}}{2}, \quad \hat{h}_{1,j} = \frac{h_{1,j} + h_{1,j+1}}{2}.$$

■ Такое выражение для $R_h^* \mathbf{w}^h$ можно получить применяя при аппроксимации уравнения баланса

$$\iint_{V_{ij}} \operatorname{div} \mathbf{w} \, dV = \iint_{V_{ij}} f \, dV \quad \Leftrightarrow \quad \int_{(\Gamma_{ij})} \mathbf{w} \cdot \vec{n} \, ds = \iint_{V_{ij}} f \, dV$$

■ линейную комбинацию формул прямоугольников для ячейки

Ячейка



Интересно, что «очевидная» аппроксимация

$$\begin{aligned}
 \operatorname{div} \mathbf{w}(x_{i,j}) \approx & \frac{1}{2} \frac{w_1(x_{11,i+\frac{1}{2}}, x_{21,j+\frac{1}{2}}) - w_1(x_{11,i-\frac{1}{2}}, x_{21,j+\frac{1}{2}})}{\hat{h}_{1,i}} + \frac{1}{2} \frac{w_1(x_{11,i+\frac{1}{2}}, x_{21,j-\frac{1}{2}}) - w_1(x_{11,i-\frac{1}{2}}, x_{21,j-\frac{1}{2}})}{\hat{h}_{1,i}} + \\
 & + \frac{1}{2} \frac{w_2(x_{11,i+\frac{1}{2}}, x_{21,j+\frac{1}{2}}) - w_2(x_{11,i+\frac{1}{2}}, x_{21,j-\frac{1}{2}})}{\hat{h}_{2,j}} + \frac{1}{2} \frac{w_2(x_{11,i-\frac{1}{2}}, x_{21,j+\frac{1}{2}}) - w_2(x_{11,i-\frac{1}{2}}, x_{21,j-\frac{1}{2}})}{\hat{h}_{2,j}}
 \end{aligned}$$

приводит к потере сопряженно-операторной структуры

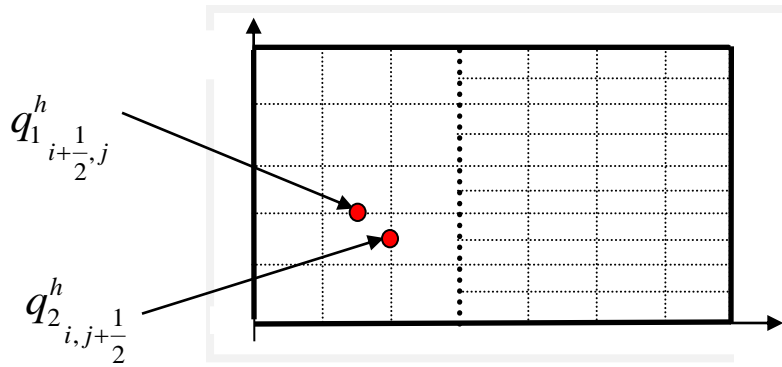
■ Аппроксимация тензора **K**:

$$[w^h]_{i+\frac{1}{2},j+\frac{1}{2}} = [K_h q^h]_{i+\frac{1}{2},j+\frac{1}{2}} = \begin{bmatrix} k_{11} & k_{12} \\ k_{21} & k_{22} \end{bmatrix}_{i+\frac{1}{2},j+\frac{1}{2}} [q^h]_{i+\frac{1}{2},j+\frac{1}{2}}$$

■ Важно !

■ 1. Компоненты $w^h_{i+\frac{1}{2},j+\frac{1}{2}} \leftrightarrow q^h_{i+\frac{1}{2},j+\frac{1}{2}}$ - тензоров ранга 1 (векторов) определяются в одних и тех же точках.

■ Поэтому аппроксимация тензора **K** естественна и соотношение $w^h = K_h q^h$ аппроксимирует исходное $w = Kq$ с бесконечным порядком точности.



?

$$\begin{bmatrix} w_1^h(x_{1,i+\frac{1}{2}}, x_{2,j}) \\ w_2^h(x_{1,i}, x_{2,j+\frac{1}{2}}) \end{bmatrix} = \begin{bmatrix} k_{11} & k_{12} \\ k_{21} & k_{22} \end{bmatrix}_{i+\frac{1}{2},j+\frac{1}{2}} \begin{bmatrix} q_1^h(x_{1,i+\frac{1}{2}}, x_{2,j}) \\ q_2^h(x_{1,i}, x_{2,j+\frac{1}{2}}) \end{bmatrix}$$

■ Окончательная формулировка дискретного аналога

- Сопряжено-операторная дискретная модель имеет вид

$$R_h^* \mathbf{w}^h = f^h,$$

$$\mathbf{w}^h = \mathbf{K}_h \mathbf{q}^h,$$

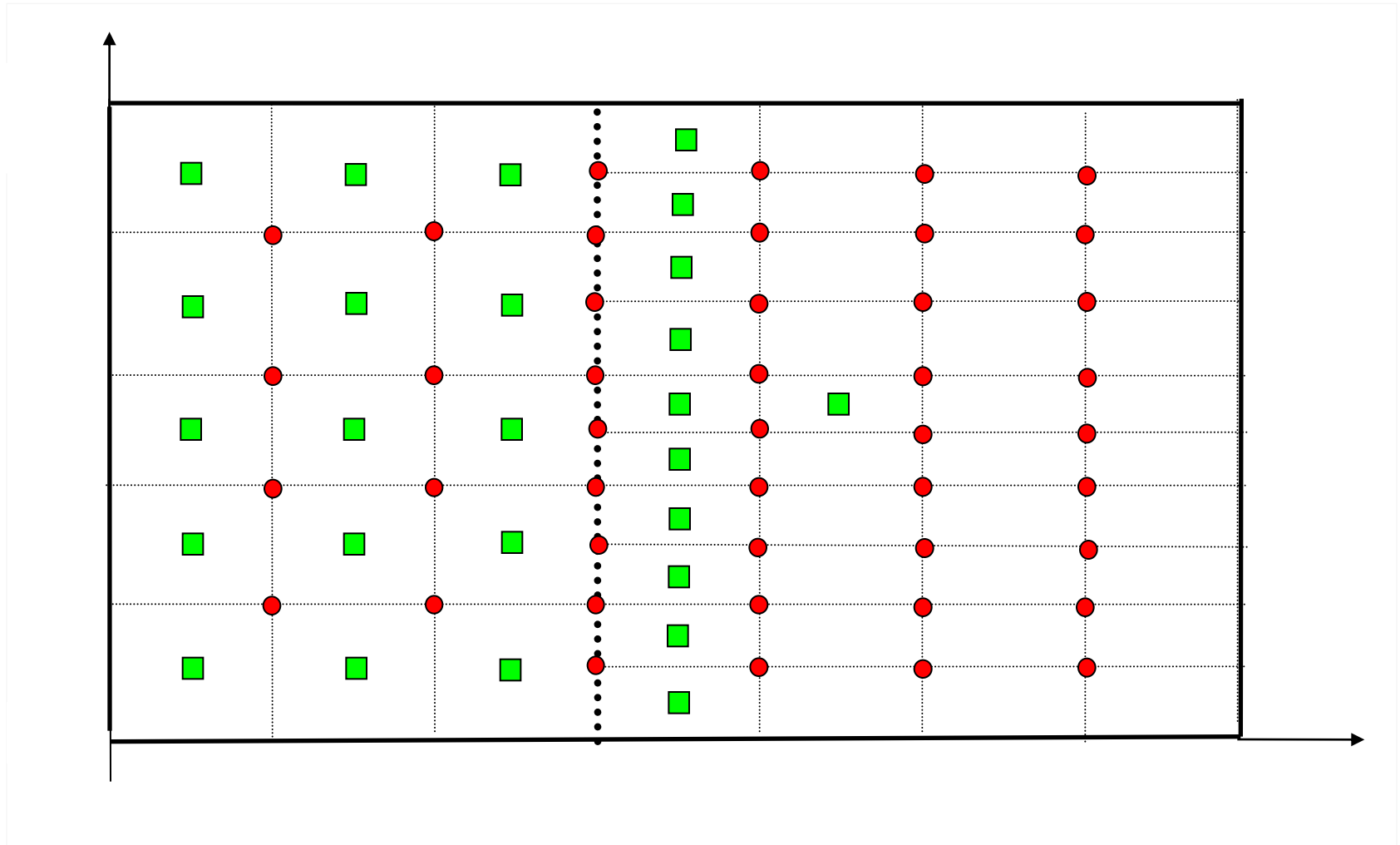
$$\mathbf{q}^h = R_h u^h,$$

$$u^h \in H_h, \quad \mathbf{w}^h \in H_h^*.$$

- Проведенные численные эксперименты показали сходимость построенной разностной схемы.

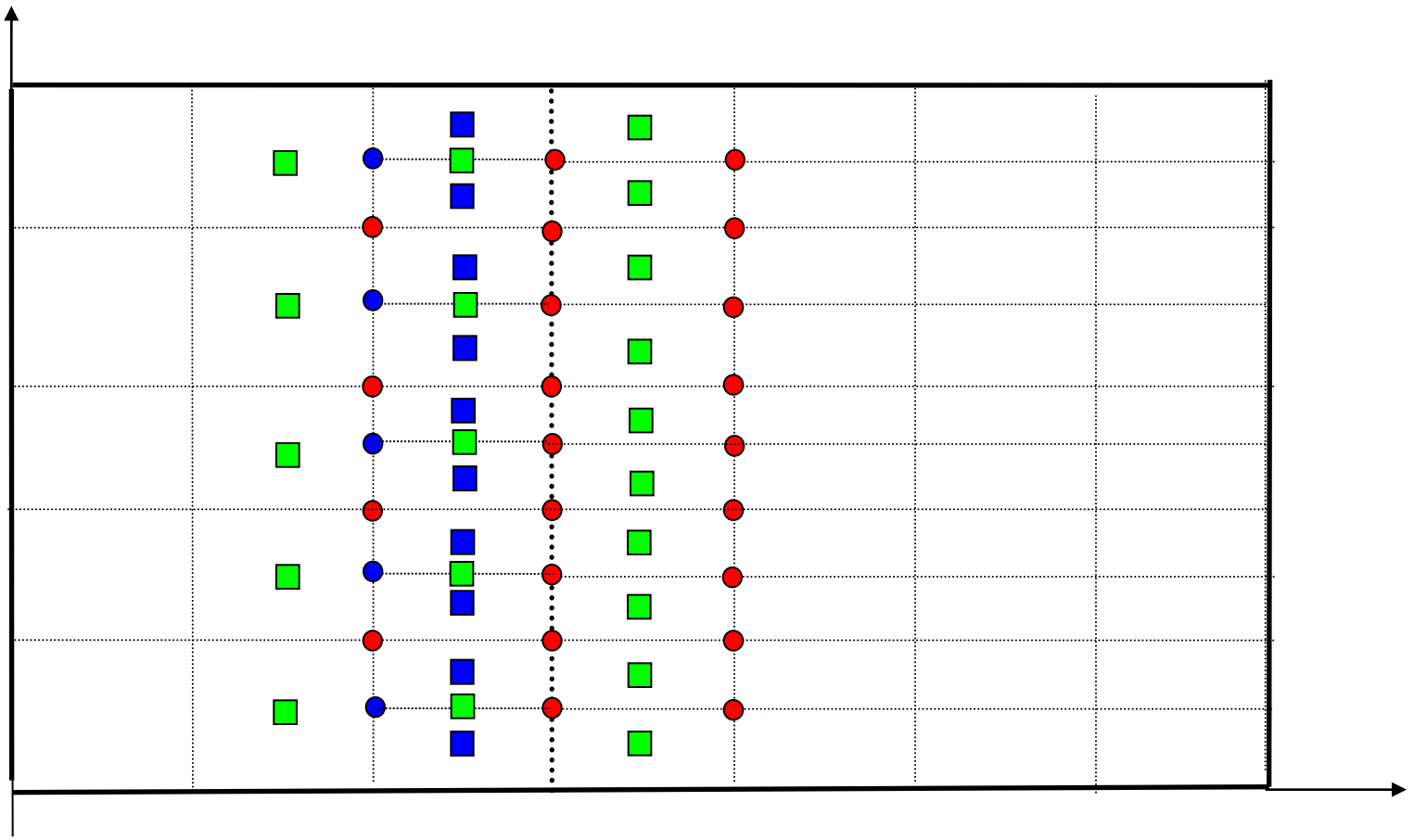
- Однако сходимость оказалась только первого порядка.

- С целью получения разностной схемы второго порядка были произведены дополнительные построения.
- По всей видимости, причиной того, что схема имеет первый порядок сходимости является, в частности, следующее.
- В точках сетки ω_Γ в которых сетки в Ω_1 и Ω_2 не согласуются для аппроксимации оператора $R^* = \text{div}$ используются только точки сетки из области Ω_2 .
- «Информация» из области Ω_1 никак не учитывается.



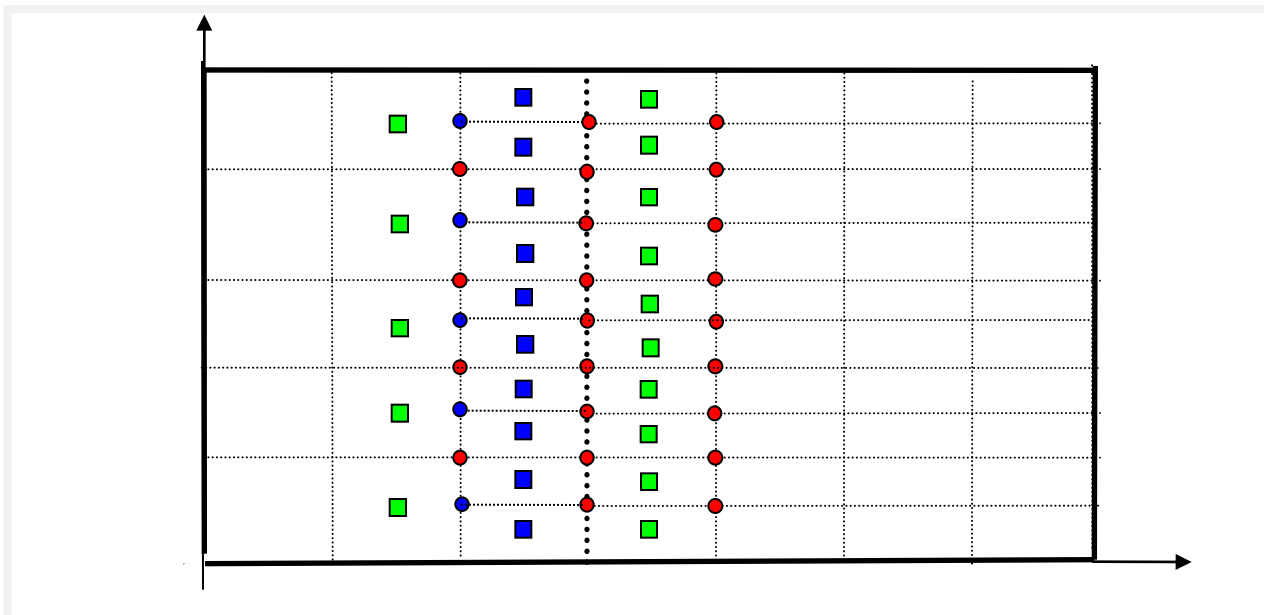
- Для того, чтобы исключить эту ситуацию, в области Ω_1 были введены дополнительные узлы сетки и для оператора $R = -grad$ применена специальная аппроксимация.

- Для того, чтобы исключить эту ситуацию, в области Ω_1 были введены дополнительные узлы сетки и для оператора $R = -grad$ применена специальная аппроксимация.



- В дополнительных точках - ■ для потока
- оператор $R = -grad$ аппроксимируется по тому же принципу, что и в «регулярных» точках - ■
- с той лишь разницей, что в качестве значения в «фиктивной» точке - ●
- используется линейная комбинация четырех ближайших (по вертикали) точек - ●

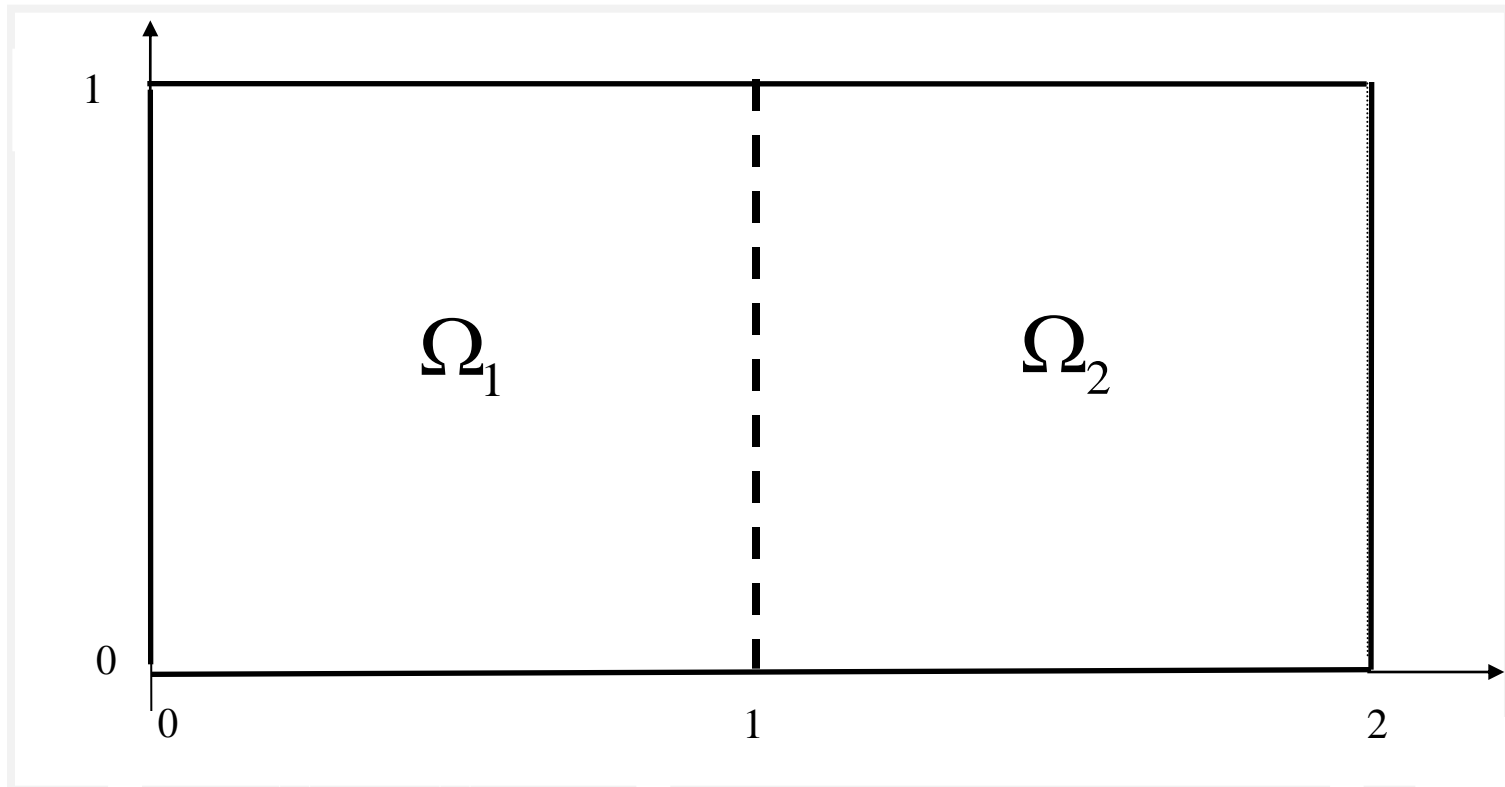
$$u(\bullet) = -\frac{1}{16}u(\bullet - \frac{3}{2}h) + \frac{9}{16}u(\bullet - \frac{1}{2}h) + \frac{9}{16}u(\bullet + \frac{1}{2}h) - \frac{1}{16}u(\bullet + \frac{3}{2}h) + O(h^4)$$



Численные эксперименты

В таблицах приведены результаты тестовых расчетов, подтверждающие второй порядок сходимости.

- Расчеты производились в области $\Omega = (0,2) \times (0,1) = \Omega_1 \cup \Omega_2$.
- Область делилась на две равные части
- $\Omega = \Omega_1 \cup \Omega_2 = ((0,1) \times (0,1)) \cup ((1,2) \times (0,1))$



В каждой подобласти задавалась равномерная сетка:

■ в Ω_1 с шагами $h_{11} = h_{21}$, в Ω_2 - $h_{12} = h_{22} = h_{21}/2$.

■ Используемые шаги приведены в первых двух колонках.

■ В остальных колонках указаны различные характеристики погрешности

$$\mathbf{Z}^h = \begin{bmatrix} \mathbf{w}^h \\ u^h \end{bmatrix} - \begin{bmatrix} \mathbf{w} \\ u \end{bmatrix}$$

■ Здесь $\begin{bmatrix} \mathbf{w} \\ u \end{bmatrix}$ – решение дифференциальной задачи, $\begin{bmatrix} \mathbf{w}^h \\ u^h \end{bmatrix}$ – решение разностной задачи.

■ В третьей колонке норма второй компоненты погрешности

$$\max_{(x_{1i}, x_{2j}) \in \omega} |u(x_{1i}, x_{2j}) - u^h(x_{1i}, x_{2j})| = \max_u$$

■ В четвертой - норма второй компоненты погрешности

$$\max \left[\max_{\left(x_{1,i-\frac{1}{2}}, x_{2,j-\frac{1}{2}} \right) \in \omega_1} \left| W_1 \left(x_{1,i-\frac{1}{2}}, x_{2,j-\frac{1}{2}} \right) - W_1^h \left(x_{1,i-\frac{1}{2}}, x_{2,j-\frac{1}{2}} \right) \right|, \max_{\left(x_{1,i-\frac{1}{2}}, x_{2,j-\frac{1}{2}} \right) \in \omega_1} \left| W_2 \left(x_{1,i-\frac{1}{2}}, x_{2,j-\frac{1}{2}} \right) - W_2^h \left(x_{1,i-\frac{1}{2}}, x_{2,j-\frac{1}{2}} \right) \right| \right] = \max_{\mathbf{w}} \quad \mathbf{44}$$

В пятой колонке норма проекции второй компоненты погрешности на Γ

$$\max_{(x_{1i}, x_{2j}) \in \Gamma} \left| u(x_{1i}, x_{2j}) - u^h(x_{1i}, x_{2j}) \right| = \max_{\Gamma}$$

■ Наконец, в последней - норма погрешности

$$\| \mathbf{Z}^h \|_{\mathbf{H}} = \sqrt{ \sum_{(x_{1i}, x_{2j}) \in \omega} \left(u(x_{1i}, x_{2j}) - u^h(x_{1i}, x_{2j}) \right)^2 h_1 h_2 + \sum_{\left(x_{1, i-\frac{1}{2}}, x_{2, j-\frac{1}{2}} \right) \in \omega_{\frac{1}{2}}} \left(w_1 \left(x_{1, i-\frac{1}{2}}, x_{2, j-\frac{1}{2}} \right) - w_1^h \left(x_{1, i-\frac{1}{2}}, x_{2, j-\frac{1}{2}} \right) \right)^2 h_1 h_2 + \sum_{\left(x_{1, i-\frac{1}{2}}, x_{2, j-\frac{1}{2}} \right) \in \omega_{\frac{1}{2}}} \left(w_2 \left(x_{1, i-\frac{1}{2}}, x_{2, j-\frac{1}{2}} \right) - w_2^h \left(x_{1, i-\frac{1}{2}}, x_{2, j-\frac{1}{2}} \right) \right)^2 h_1 h_2 }$$

$$\mathbf{K}(x_1, x_2) = \begin{bmatrix} 1 & 0 \\ 0 & 1 \end{bmatrix}, (x_1, x_2) \in \Omega_1$$

$$\mathbf{K}(x_1, x_2) = \begin{bmatrix} 1 & 0 \\ 0 & 1 \end{bmatrix}, (x_1, x_2) \in \Omega_2$$

$$u(x_1, x_2) = \sin^3(\pi x_1) \sin^3(\pi x_2), (x_1, x_2) \in \Omega_1 \quad u(x_1, x_2) = \sin^3(1\pi x_1) \sin^3(1\pi x_2), (x_1, x_2) \in \Omega_2$$

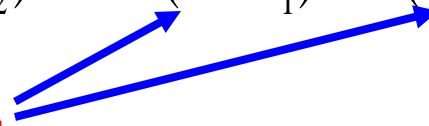
$h_{11}=h_{21}$	$h_{12}=h_{22}$	\max_u	\max_w	\max_Γ	H
1/10	1/20	0.8802E-01	0.2137E+00	0.1043E-01	0.1158E+00
1/20	1/40	0.2069E-01	0.5404E-01	0.2492E-02	0.2765E-01
1/40	1/80	0.5096E-02	0.1348E-01	0.6164E-03	0.6837E-02
1/80	1/160	0.1266E-02	0.3371E-02	0.1534E-03	0.1705E-02

$$\mathbf{K}(x_1, x_2) = \begin{bmatrix} 2 & 1 \\ 1 & 2 \end{bmatrix}, (x_1, x_2) \in \Omega_1$$

$$\mathbf{K}(x_1, x_2) = \begin{bmatrix} 2 & 1 \\ 1 & 2 \end{bmatrix}, (x_1, x_2) \in \Omega_2$$

$$u(x_1, x_2) = \sin^3(\pi x_1) \sin^3(\pi x_2), (x_1, x_2) \in \Omega_1 \quad u(x_1, x_2) = \sin^3(10\pi x_1) \sin^3(10\pi x_2), (x_1, x_2) \in \Omega_2$$

■ «Смешанные производные» +



$h_{11}=h_{21}$	$h_{12}=h_{22}$	\max_u	\max_w	\max_Γ	H
1/40	1/80	0.1435E+00	0.7841E+01	0.3047E-01	0.3999E+01
1/80	1/160	0.3250E-01	0.1880E+01	0.7146E-02	0.9256E+00
1/160	1/320	0.7943E-02	0.4662E+00	0.1746E-02	0.2273E+00
1/320	1/640	0.1973E-02	0.1167E+00	0.4299E-03	0.5657E-01

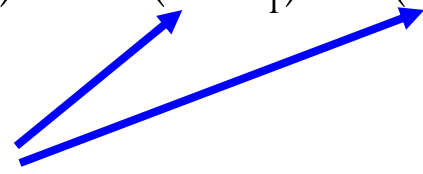
$$\mathbf{K}(x_1, x_2) = \begin{bmatrix} 0.002 & 0.01 \\ 0.01 & 0.002 \end{bmatrix}, (x_1, x_2) \in \Omega_1$$

$$\mathbf{K}(x_1, x_2) = \begin{bmatrix} 2 & 1 \\ 1 & 2 \end{bmatrix}, (x_1, x_2) \in \Omega_2$$

$$u(x_1, x_2) = \sin^3(\pi x_1) \sin^3(\pi x_2), (x_1, x_2) \in \Omega_1 \quad u(x_1, x_2) = \sin^3(10\pi x_1) \sin^3(10\pi x_2), (x_1, x_2) \in \Omega_2$$

■ «Смешанные производные» +

■ разрывные коэффициенты +



$h_{11}=h_{21}$	$h_{12}=h_{22}$	\max_u	\max_w	\max_Γ	H
1/40	1/80	0.1514E+00	0.8146E+01	0.6161E-01	0.4028E+01
1/80	1/160	0.3462E-01	0.1944E+01	0.1453E-01	0.9287E+00
1/160	1/320	0.8446E-02	0.4831E+00	0.3501E-02	0.2281E+00
1/320	1/640	0.2065E-02	0.1199E+00	0.8270E-03	0.5677E-01

■ **Спасибо за внимание**



Local flux mimetic finite difference methods

Konstantin Lipnikov^{1*}Mikhail Shashkov¹Ivan Yotov²

January 31, 2008

2 Mimetic finite difference method

Let X_1 and X_2 be Hilbert spaces and let \mathcal{L}_1 and \mathcal{L}_2 be two linear operators, $\mathcal{L}_i: X_i \rightarrow Y_i$, $i = 1, 2$, which satisfy some fundamental identity:

$$\mathcal{I}(\mathcal{L}_1, \mathcal{L}_2; f_1, f_2) = 0 \quad \forall f_1 \in X_1, f_2 \in X_2.$$

Suppose that discrete approximation spaces X_{ih} , Y_{ih} , $i = 1, 2$, and the discrete operator \mathcal{L}_{1h} are given. The idea of the mimetic discretization is to find a discrete operator \mathcal{L}_{2h} such that a discrete analog of the fundamental identity holds, i.e

$$\mathcal{I}_h(\mathcal{L}_{1,h}, \mathcal{L}_{2,h}; f_{1h}, f_{2h}) = 0 \quad \forall f_{1h} \in X_{1h}, f_{2h} \in X_{2h}. \quad (2.1)$$

This implies that operators \mathcal{L}_1 and \mathcal{L}_2 cannot be discretized independently from each other. For a given $\mathcal{L}_{1,h}$, formula (2.1) is the implicit definition of the operator $\mathcal{L}_{2,h}$.

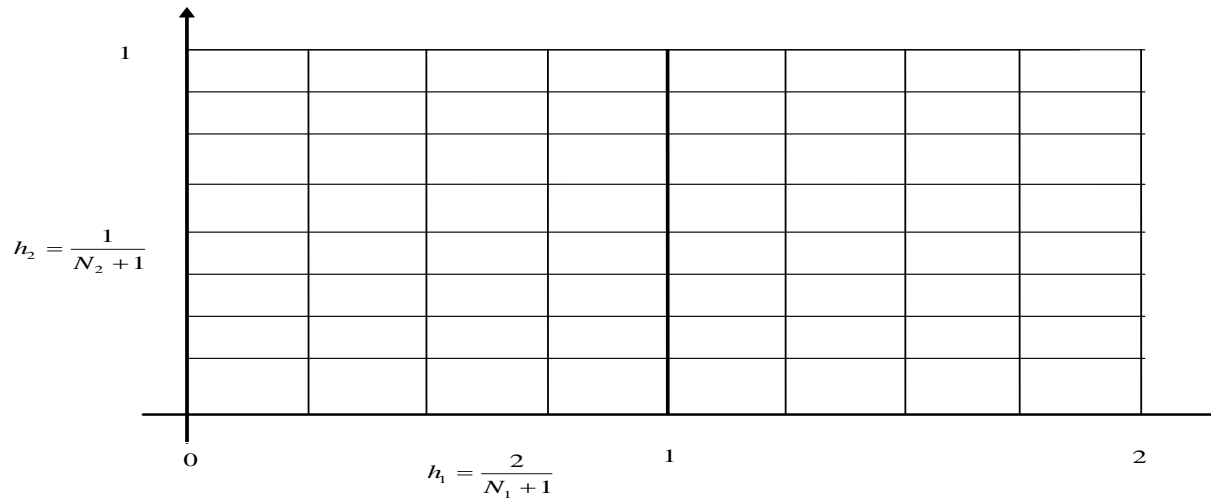
With the discrete divergence and quadrature rules for approximating L^2 inner products defined, the discrete gradient operator is derived from the discrete Green's formula (cf. (2.5))

$$[\mathbf{q}, \mathcal{DIV} \mathbf{v}]_{\mathcal{O}} + [\mathbf{v}, \mathcal{GRAD} \mathbf{q}]_X = 0 \quad \forall \mathbf{q} \in Q_h, \forall \mathbf{v} \in X_h. \quad (2.17)$$

Lemma 2.1 *If (2.13) in Assumption A3 holds, then formula (2.17) gives a unique definition for operator \mathcal{GRAD} .*

6. Тесты

Область $\Omega = (0,2) \times (0,1)$



Задача

$$R^* w \equiv \operatorname{div} w = \frac{dw_1}{dx_1} + \frac{dw_2}{dx_2} = f,$$

$$w = \begin{bmatrix} w_1 \\ w_2 \end{bmatrix} = Kq = \begin{bmatrix} k_{11}(x_1, x_2) & k_{12}(x_1, x_2) \\ k_{21}(x_1, x_2) & k_{22}(x_1, x_2) \end{bmatrix} \begin{bmatrix} q_1 \\ q_2 \end{bmatrix},$$

$$q = Ru \equiv -\operatorname{grad} u = - \begin{bmatrix} \frac{du}{dx_1} \\ \frac{du}{dx_2} \end{bmatrix},$$

$$u|_{\partial\Omega} = 0.$$

■ В таблицах используются обозначения:

$$\max = \max_{(x_{1i}, x_{2j}) \in \omega} |u(x_{1i}, x_{2j}) - u^h(x_{1i}, x_{2j})|, \quad L_2 = \left[\sum_{(x_{1i}, x_{2j}) \in \omega} (u(x_{1i}, x_{2j}) - u^h(x_{1i}, x_{2j}))^2 h_{1i} h_{2j} \right]^{\frac{1}{2}},$$

$$H_h \otimes H_h^* = \left[\sum_{(x_{1i}, x_{2j}) \in \omega} (u(x_{1i}, x_{2j}) - u^h(x_{1i}, x_{2j}))^2 h_{1i} h_{2j} + \right.$$

$$\left. + \sum_{(x_{1, i-\frac{1}{2}}, x_{2, j-\frac{1}{2}}) \in \omega_{\frac{1}{2}}} (w_1(x_{1, i-\frac{1}{2}}, x_{2, j-\frac{1}{2}}) - w_1^h(x_{1, i-\frac{1}{2}}, x_{2, j-\frac{1}{2}}))^2 h_{1i} h_{2j} + \sum_{(x_{1, i-\frac{1}{2}}, x_{2, j-\frac{1}{2}}) \in \omega_{\frac{1}{2}}} (w_2(x_{1, i-\frac{1}{2}}, x_{2, j-\frac{1}{2}}) - w_2^h(x_{1, i-\frac{1}{2}}, x_{2, j-\frac{1}{2}}))^2 h_{1i} h_{2j} \right]^{\frac{1}{2}}$$

■ $u(x_{1i}, x_{2j})$ - проекция точного решения на сетку ω ,

■ $w(x_{1, i-\frac{1}{2}}, x_{2, j-\frac{1}{2}})$ - проекция потока от точного решения на сетку $\omega_{\frac{1}{2}}$,

■ $u^h(x_{1i}, x_{2j})$ - решение дискретной задачи на сетке ω ,

■ $w^h(x_{1, i-\frac{1}{2}}, x_{2, j-\frac{1}{2}})$ - решение дискретной задачи (дискретный поток) на сетке $\omega_{\frac{1}{2}}$,

■ Равномерная сетка

■ Смешанные производные

$$K(x_{1,i-\frac{1}{2}}, x_{2,j-\frac{1}{2}}) = \begin{bmatrix} 2 & 1 \\ 1 & 2 \end{bmatrix}$$

Решение $u(x_1, x_2) = x_1(2 - x_1) x_2(1 - x_1)$

■ Таблица 1

h_1 h_2 / ε	max	L_2	$H_h \otimes H_h^*$
10^{-1} 10^{-1}	0.2348E-02	0.1932E-02	0.1012E-01
$\frac{1}{2}10^{-1}$ $\frac{1}{2}10^{-1}$	0.5853E-03	0.4807E-03	0.2532E-02
$\frac{1}{4}10^{-1}$ $\frac{1}{4}10^{-1}$	0.1462E-03	0.1200E-03	0.6331E-03
$\frac{1}{8}10^{-1}$ $\frac{1}{8}10^{-1}$	0.3654E-04	0.3000E-04	0.1583E-03
$\frac{1}{16}10^{-1}$ $\frac{1}{16}10^{-1}$	0.9135E-05	0.7498E-05	0.3957E-04

■ Неравномерная сетка

$$K(x_{1,i-\frac{1}{2}}, x_{2,j-\frac{1}{2}}) = \begin{bmatrix} 1 & 0 \\ 0 & 1 \end{bmatrix}$$

Решение $u(x_1, x_2) = x_1(2 - x_1) x_2(1 - x_1)$

■ Таблица 2

h_{11} h_{12} h_2 / ε	max	L_2	$H_h \otimes H_h^*$
10^{-1} $\frac{1}{2}10^{-1}$ 10^{-1}	0.2016E-02	0.1550E-02	0.4608E-02
$\frac{1}{2}10^{-1}$ $\frac{1}{4}10^{-1}$ $\frac{1}{2}10^{-1}$	0.5025E-03	0.3858E-03	0.1152E-02
$\frac{1}{4}10^{-1}$ $\frac{1}{8}10^{-1}$ $\frac{1}{4}10^{-1}$	0.1255E-03	0.9633E-04	0.2881E-03
10^{-1} $\frac{1}{10}10^{-1}$ 10^{-1}	0.1962E-02	0.1450E-02	0.4562E-02
$\frac{1}{2}10^{-1}$ $\frac{1}{20}10^{-1}$ $\frac{1}{2}10^{-1}$	0.4878E-03	0.3610E-03	0.1141E-02
$\frac{1}{4}10^{-1}$ $\frac{1}{40}10^{-1}$ $\frac{1}{4}10^{-1}$	0.1218E-03	0.9014E-04	0.2852E-03

■ Неравномерная сетка + Разрывные коэффициенты

$$K(x_{1,i-\frac{1}{2}}, x_{2,j-\frac{1}{2}}) = \begin{bmatrix} p1 & 0 \\ 0 & 1 \end{bmatrix} \quad K(x_{1,i-\frac{1}{2}}, x_{2,j-\frac{1}{2}}) = \begin{bmatrix} p2 & 0 \\ 0 & 1 \end{bmatrix}$$

Решение $u(x_1, x_2) = \left[-\frac{p2}{p1+p2}x_1 + 1\right] x_2^4(1-x_2^4)$ $u(x_1, x_2) = \left[\frac{p1}{p1+p2}(2-x_1)\right] x_2^4(1-x_2^4)$

■ Таблица 3 $p1=10$, $p2=1000$

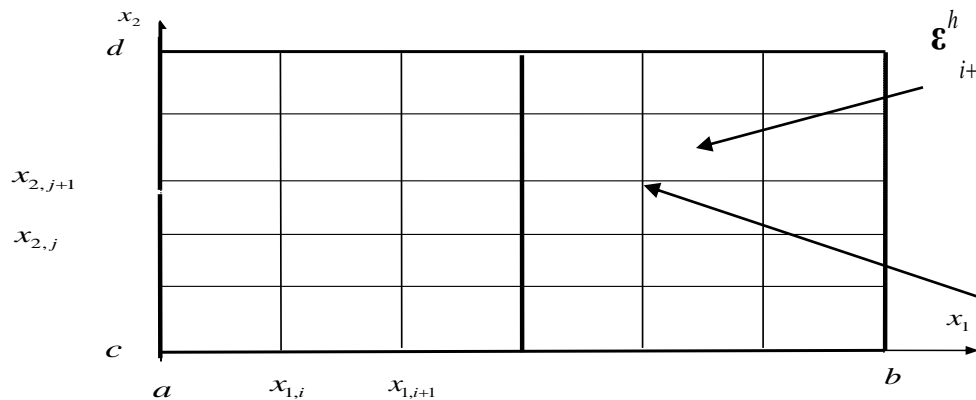
h_{11}	h_{12}	h_2	/ ε	max	L_2	$H_h \otimes H_h^*$
$\frac{1}{2}10^{-1}$	10^{-1}	10^{-1}	10^{-1}	0.3316E-02	0.1185E-02	0.2096E+00
$\frac{1}{4}10^{-1}$	$\frac{1}{2}10^{-1}$	$\frac{1}{2}10^{-1}$	$\frac{1}{2}10^{-1}$	0.8115E-03	0.2891E-03	0.5388E-01
$\frac{1}{8}10^{-1}$	$\frac{1}{4}10^{-1}$	$\frac{1}{4}10^{-1}$	$\frac{1}{4}10^{-1}$	0.2008E-03	0.7176E-04	0.1357E-01
$\frac{1}{10}10^{-1}$	10^{-1}	10^{-1}	10^{-1}	0.3309E-02	0.1183E-02	0.2063E+00
$\frac{1}{20}10^{-1}$	$\frac{1}{2}10^{-1}$	$\frac{1}{2}10^{-1}$	$\frac{1}{2}10^{-1}$	0.8110E-03	0.2888E-03	0.5300E-01
$\frac{1}{40}10^{-1}$	$\frac{1}{4}10^{-1}$	$\frac{1}{4}10^{-1}$	$\frac{1}{4}10^{-1}$	0.2007E-03	0.7171E-04	0.1334E-01

7. Дальнейшие возможности

1. Теория упругости;

$$R^* \boldsymbol{\sigma} = - \begin{bmatrix} \frac{\partial}{\partial x_1} & 0 & \frac{\partial}{\partial x_2} \\ 0 & \frac{\partial}{\partial x_2} & \frac{\partial}{\partial x_1} \end{bmatrix} \begin{bmatrix} \sigma_{11} \\ \sigma_{22} \\ \sigma_{12} \end{bmatrix}, \quad \boldsymbol{\sigma} = \mathbf{K} \boldsymbol{\varepsilon} = \begin{bmatrix} \lambda + 2\mu & \lambda & 0 \\ \lambda & \lambda + 2\mu & 0 \\ 0 & 0 & \mu \end{bmatrix} \boldsymbol{\varepsilon}, \quad R \mathbf{u} = \begin{bmatrix} \frac{\partial}{\partial x_1} & 0 \\ 0 & \frac{\partial}{\partial x_2} \\ \frac{\partial}{\partial x_2} & \frac{\partial}{\partial x_1} \end{bmatrix} \begin{bmatrix} u_1 \\ u_2 \end{bmatrix},$$

$$\mathbf{u} = 0, \quad x \in \partial\Omega.$$



$$\boldsymbol{\varepsilon}^h_{i+\frac{1}{2}, j+\frac{1}{2}} = (R \mathbf{u}^h)_{i+\frac{1}{2}, j+\frac{1}{2}} = \begin{bmatrix} \frac{1}{2}(u_{1,x_1,i,j}^h + u_{1,x_1,i,j+1}^h) \\ \frac{1}{2}(u_{2,x_2,i,j}^h + u_{2,x_2,i+1,j}^h) \\ \frac{1}{2}(u_{1,x_2,i,j}^h + u_{1,x_2,i+1,j}^h) + \frac{1}{2}(u_{2,x_1,i,j}^h + u_{2,x_1,i,j+1}^h) \end{bmatrix}$$

$$\mathbf{u}^h_{i,j} = \begin{bmatrix} u_{1,i,j}^h \\ u_{2,i,j}^h \end{bmatrix}$$

2. Криволинейные координаты;

$$y_j = y_j(x_1, x_2, x_3), \quad j = 1, 2, 3$$

$$Ru = -grad u(\mathbf{y}) = -\frac{\partial u}{\partial y_i} \mathbf{e}^i$$

$$R^* \mathbf{w} = \operatorname{div} \mathbf{w} = \operatorname{tr}(\nabla \mathbf{w}) = \nabla_m w^m$$

$$\nabla_j u^m = \left(\frac{\partial u^m}{\partial y_j} + u^i \Gamma_{ij}^m \right), \quad \Gamma_{ij}^m = \frac{\partial \mathbf{e}_i}{\partial y_j} \cdot \mathbf{e}^m.$$

$$\mathbf{e}_1 = \frac{\partial \mathbf{r}}{\partial y_1}, \quad \mathbf{e}_2 = \frac{\partial \mathbf{r}}{\partial y_2}, \quad \mathbf{e}_3 = \frac{\partial \mathbf{r}}{\partial y_3}$$

$$\mathbf{r} = x_1 \mathbf{q}_1 + x_2 \mathbf{q}_2 + x_3 \mathbf{q}_3 = x_i \mathbf{q}_i.$$

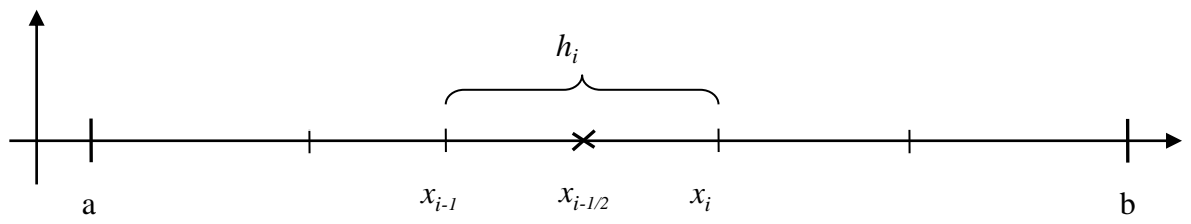
$$R_h : H_h \rightarrow H_h^*, \quad R_h^* : H_h^* \rightarrow H_h,$$

$$(R_h u^h, \mathbf{w}^h)_{H_h^*} = (u^h, R_h^* \mathbf{w}^h)_{H_h}.$$

4. Краевые условия.

$$R^* w \equiv \frac{dw}{dx} = f, \quad x \in (a, b), \quad w = k(x)q, \quad q = Ru \equiv -\frac{du}{dx},$$

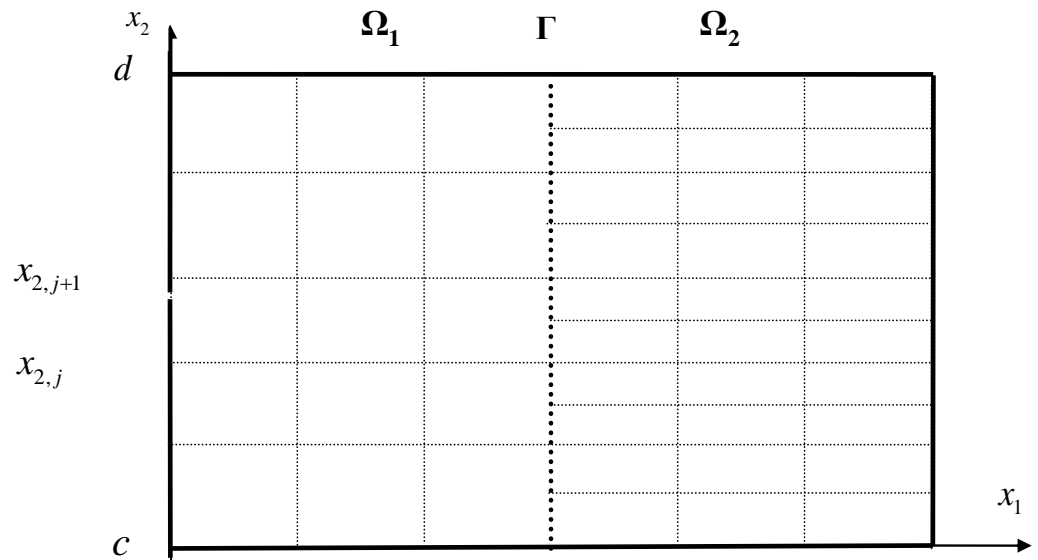
$$u(a) = \frac{du}{dx}(b) = 0.$$



$$\begin{aligned}
 R_h : H_h &\rightarrow H_h^*, \\
 (R_h u^h)(x_{i+\frac{1}{2}}) &= \begin{cases} \frac{-u_1^h}{h_1}, & i=0, \\ \frac{u_i^h - u_{i+1}^h}{h_{i+1}}, & 1 \leq i \leq N, \end{cases} \\
 \Rightarrow \\
 R_h^* w^h(x_i) &= \begin{cases} \frac{w_{i+\frac{1}{2}}^h - w_{i-\frac{1}{2}}^h}{\frac{h_i}{2} + \frac{h_{i+1}}{2}}, & 1 \leq i \leq N-1, \\ -\frac{w_{N+\frac{1}{2}}^h}{\frac{h_N}{2} + \frac{h_{N+1}}{2}}, & i = N. \end{cases}
 \end{aligned}$$

- Sorokin S.B. Conjugate-factorized models in plate theory. Сибирский журнал вычислительной математики РАН СО, т. 2, № 1, Новосибирск, 1999, стр. 81-88.
- Sorokin S.B. Efficient direct methods for discrete conjugate-operator models. The Far-Eastern School - seminar on mathematical modeling and numerical analysis. The proceeding and abstracts, Khabarovsk, 1999, pp. 99-107.
- Сорокин С.Б. Оценка точности двусторонних приближений для задачи Штурма - Лиувилля. Сибирский журнал вычислительной математики РАН СО, т. 3, № 1, Новосибирск, 2000, стр. 77-94.
- Сорокин С.Б. Обоснование метода двусторонних приближений для собственных чисел эллиптического оператора второго порядка. Сибирский журнал вычислительной математики РАН СО, т. 4, № 1, Новосибирск, 2001 г., стр. 61-84.
- Сорокин С.Б. Обоснование асимптотического разложения для спектральных задач в методе фиктивных областей. Тезисы докладов Третьего Сибирского конгресса по прикладной и индустриальной математике (INPRIM-98), Часть III, Новосибирск, Изд. ИМ СО РАН 1998, стр. 23.

Тест



Решение $U(x)=x$

Погрешность максимум								
h_{x_1}	h_{x_2}	h_{y_1}	h_{y_2}	$\max \Omega_1$	$\max \frac{1}{2} \Omega_1$	$\max \Omega_2$	$\max \frac{1}{2} \Omega_2$	$\max \Gamma$
0.1	0.1	0.1	0.05	0.2037E-02	0.6160E-03	0.2988E-02	0.8632E-03	0.1050E-01
0.05	0.05	0.05	0.025	0.1242E-02	0.3371E-03	0.1568E-02	0.3994E-03	0.5245E-02
0.025	0.025	0.025	0.0125	0.6791E-03	0.1763E-03	0.8020E-03	0.1920E-03	0.2622E-02

Погрешность L_2								
h_{x_1}	h_{x_2}	h_{y_1}	h_{y_2}	$L_2 (\Omega_1)$	$L_2 (\frac{1}{2} \Omega_1)$	$L_2 (\Omega_2)$	$L_2 (\frac{1}{2} \Omega_2)$	$L_2 (\Gamma) ^*$
0.1	0.1	0.1	0.05	0.2215E-02	0.1885E-03	0.1067E-02	0.2666E-03	0.2191E-02
0.05	0.05	0.05	0.025	0.7731E-03	0.9443E-04	0.5382E-03	0.1124E-03	0.7591E-03
0.025	0.025	0.025	0.0125	0.2741E-03	0.4717E-04	0.2695E-03	0.5147E-04	0.2651E-03

